



ΠΑΝΕΠΙΣΤΗΜΙΟ
ΘΕΣΣΑΛΙΑΣ

2021

Τεχνική Έκθεση

Ενεργειακή Αναβάθμιση Κτηρίου

Κρυστάμτσης Νικόλαος, ΑΕΜ: 2542

Τμήμα Ηλεκτρολόγων Μηχανικών και Μηχανικών Υπολογιστών

Ειδικά Θέματα Ηλεκτρικών Εγκαταστάσεων

THIS PAGE WAS LEFT BLANK INTENTIONALLY

Κρυστάμτσης Νικόλαος

Ενεργειακή Αναβάθμιση Κτηρίου Δευτεροβάθμιας Εκπαίδευσης

ΠΑΝΕΠΙΣΤΗΜΙΟ ΘΕΣΣΑΛΙΑΣ

Τμήμα Ηλεκτρολόγων Μηχανικών και Μηχανικών Υπολογιστών
Ειδικά θέματα ηλεκτρικών εγκαταστάσεων

KEYWORDS

Αερισμός-εξαερισμός, αυτοματισμός, δομικά στοιχεία, ενεργειακή κατάταξη, θέρμανση, θερμογέφυρες, θερμομόνωση, κέλυφος, κουφώματα, σκιασμός, συστήματα, φωτισμός, φωτοβολταικά , ψύξη

ΠΕΡΙΕΧΟΜΕΝΑ

1. ΕΙΣΑΓΩΓΗ.....	1
2. Ενεργειακή Αναβάθμιση Κτηρίου Δευτεροβάθμιας Εκπαίδευσης.....	1
2.1 Στόχος τεχνικής έκθεσης.....	1
2.2 Στοιχεία τεχνικής έκθεσης	2
3. Κέλυφος.....	2
3.1 Κέλυφος – Θερμομόνωση	2
3.2 Θερμογέφυρες	9
3.3 Υπολογισμός U_m	19
3.4 Συντελεστές Σκίασης.....	19
4. Συστήματα.....	26
4.1 Συστήματα Ισογείου	26
4.2 Συστήματα Α' Ορόφου	32
4.3 Συστήματα Β' Ορόφου	36
4.4 Ζ.Ν.Χ	40
4.5 Φωτοβολταϊκά.....	41
5. Αποτελέσματα	44
6. Συμπεράσματα	46

THIS PAGE WAS LEFT BLANK INTENTIONALLY

1. ΕΙΣΑΓΩΓΗ

Ως εσωτερική ηλεκτρολογική εγκατάσταση θεωρούμε ένα εσωτερικό ηλεκτρολογικό δίκτυο, το οποίο έχει τη δυνατότητα να κατασκευάζει στο δικό του χώρο κάθε καταναλωτής σύμφωνα με τις δικές του απαιτήσεις. Η κάθε ηλεκτρολογική εγκατάσταση περιλαμβάνει ένα σύνολο ηλεκτρολογικών υλικών που έχουν κατάλληλα επιλεγμένα χαρακτηριστικά και συνδέονται κατάλληλα μεταξύ τους ώστε να επιτελέσουν ένα συγκεκριμένο σκοπό.

Οι εγκαταστάσεις διακρίνονται και πρέπει να σχεδιάζονται ανάλογα με τον χώρο ή την περιοχή που βρίσκονται και τον χρήστη τους. Κάθε ηλεκτρολογική εγκατάσταση θα πρέπει να είναι ασφαλής. Προκειμένου να εφαρμοστούν όλα τα παραπάνω, το κράτος έχει θεσπίσει πρότυπα και κανονισμούς για τις ηλεκτρολογικές εγκαταστάσεις. Οι μηχανικοί θα πρέπει να λειτουργούν με βάση τους κανονισμούς και ώστε να διασφαλισθεί η ποιότητα των υπηρεσιών και της παραγωγής.

Η ανάγκη για εξάλειψη των μη αποδοτικών κτηρίων είναι επιτακτική. Συγκεκριμένα στην Ελλάδα, το πρόβλημα είναι πιο έντονο σε σχέση με χώρες της Ευρωπαϊκής Ένωσης. Το γεγονός αυτό οφείλεται στην έλλειψη υποχρεωτικών προδιαγραφών ενεργειακής σχεδίασης των κτηρίων σε περιόδους που παρουσίασαν υψηλά επίπεδα ανοικοδομήσεων (δεκαετίες 60', 70', 80'). Επίσης, η καθυστέρηση για προσαρμογή σε διατάξεις που θεσπίστηκαν οδήγησαν σε μία νέα γενιά ενεργοβόρων κτηρίων, από το 1990 έως το 2004 που στερούνται τα χαρακτηριστικά ενεργειακής σχεδίασης.

Τα οφέλη της ενεργειακής αναβάθμισης ενός κτηρίου είναι πολλαπλά, τόσο για τα άτομα όσο και για το περιβάλλον. Από όποια πλευρά και αν εξετασθεί το θέμα είναι προφανές ότι τα ενεργοβόρα κτήρια πρέπει να υπακούν σε ενεργειακά πρότυπα. Στα επόμενα χρόνια είναι πιθανή η επιβολή προστίμων σε κτήρια που δεν υπάγονται σε κάποιον κανονισμό από την Ευρωπαϊκή Ένωση.

2. Ενεργειακή Αναβάθμιση Κτηρίου Δευτεροβάθμιας Εκπαίδευσης

2.1 Στόχος τεχνικής έκθεσης

Στην παρούσα τεχνική έκθεση θα γίνει η ενεργειακή μελέτη ενός κτηρίου δευτεροβάθμιας εκπαίδευσης. Θα ληφθεί υπόψη η παραμετροποίηση στα στοιχεία κελύφους του κτηρίου και στις ηλεκτρομαγνητικές εγκαταστάσεις. Η μελέτη θα γίνει σύμφωνα με τη 2^η TOTEE του ΚΕΝΑΚ. Το κτήριο που εξετάζεται είναι υπό ανέγερση στο νομό Μαγνησίας και συγκεκριμένα στο Βόλο (Ζώνη Β).

2.2 Στοιχεία τεχνικής έκθεσης

Προκειμένου να θεωρείται πλήρης η τεχνική έκθεση θα περιλαμβάνει:

- Τους υπολογισμούς των συντελεστών θερμοπερατότητας και θερμογεφυρών των δομικών στοιχείων
- Τους βαθμούς απόδοσης των συστημάτων κλιματισμού

Κάθε όροφος θεωρείται από μια θερμική ζώνη. Γι' αυτό το λόγο το κτήριο αποτελείται από τρεις θερμικές ζώνες. Όλοι οι χώροι του κτηρίου θεωρούνται ως θερμαινόμενοι χώροι. Θα ληφθούν υπόψη στοιχεία λόγω της διείσδυσης του αέρα λόγω αεροστεγανότητας των κουφωμάτων και συστήματα αυτοματισμών. Επίσης, το κτήριο δε διαθέτει ανεμιστήρες οροφής, καμινάδες τζακιών ανοίγματα αερισμού και εξώθυρες.

3. Κέλυφος

Ως κέλυφος του κτηρίου ορίζονται τα ενσωματωμένα δομικά στοιχεία ενός κτηρίου ή μίας κτηριακής μονάδας που διαχωρίζουν το εσωτερικό από το εξωτερικό περιβάλλον.

3.1 Κέλυφος – Θερμομόνωση

Αρχικά, θα γίνει έλεγχος της θερμομονωτικής επάρκειας του κτηρίου. Αρχικά, πρέπει να υπολογισθούν οι συντελεστές θερμοπερατότητας των αδιαφανών και διαφανών δομικών στοιχείων.

Υπολογισμός συντελεστή θερμοπερατότητας τοιχοποιίας πλήρωσης (μπατικής):

4	ΥΠΟΛΟΓΙΣΜΟΣ ΑΝΤΙΣΤΑΣΗΣ ΘΕΡΜΟΔΙΑΦΥΓΗΣ R _Λ					
5	A/ A	ΣΤΡΩΣΕΙΣ	ΠΥΚΝΟΤΗΤΑ ρ (Kg/m ³)	ΠΑΧΟΣ d (m)	ΣΥΝΤΕΛΕΣΤΗΣ ΘΕΡΜΙΚΗΣ ΑΓΩΓΙΜΟΤΗΤΑΣ λ (W/m ² *K)	ΘΕΡΜΙΚΗ ΑΝΤΙΣΤΑΣΗ R=d/λ (m ² *K/W)
6	1	ΑΣΒΕΣΤΟΚΟΝΙΑΜΑ	1.800,00	0,020	0,870	0,023
7	2	ΟΠΤΟΠΛΙΝΘΟΔΟΜΗ ΜΕ ΔΙΑΤΡΗΤΕΣ ΟΠΤΟΠΛΙΝΘΟΥΣ	1.500,00	0,000	0,510	0,000
8	3	ΔΙΟΓΚΩΜΕΝΗ ΠΟΛΥΣΤΕΡΙΝΗ		0,070	0,033	2,121
9	4	ΟΠΤΟΠΛΙΝΘΟΔΟΜΗ ΜΕ ΔΙΑΤΡΗΤΕΣ ΟΠΤΟΠΛΙΝΘΟΥΣ	1.500,00	0,250	0,180	1,389
10	5	ΑΣΒΕΣΤΟΚΟΝΙΑΜΑ	1.800,00	0,020	0,870	0,023
11			ΣΥΝΟΛΙΚΟ ΠΑΧΟΣ	0,360	ΑΝΤΙΣΤΑΣΗ ΘΕΡΜΟΔΙΑΦΥΓΗΣ ΟΛΩΝ ΤΩΝ ΣΤΡΩΣΕΩΝ R _Λ	3,556

26	ΑΝΤΙΣΤΑΣΗ ΘΕΡΜΙΚΗΣ ΜΕΤΑΒΑΣΗΣ (ΕΣΩΤΕΡΙΚΑ)	Ri (εσωτ.)	m ² *K/W	0,13
27	ΑΝΤΙΣΤΑΣΗ ΘΕΡΜΟΔΙΑΦΥΓΗΣ	Rλ	m ² *K/W	3,556
28	ΑΝΤΙΣΤΑΣΗ ΘΕΡΜΙΚΗΣ ΜΕΤΑΒΑΣΗΣ (ΕΞΩΤΕΡΙΚΑ)	Ra (εξωτ.)	m ² *K/W	0,04
29	ΑΝΤΙΣΤΑΣΗ ΘΕΡΜΙΚΗΣ ΜΕΤΑΒΑΣΗΣ ΣΕ ΕΣΩΤΕΡΙΚΟ ΣΤΡΩΜΑ ΑΕΡΑ	Rδ	m ² *K/W	0
30			ΣΥΝΟΛΙΚΗ ΑΝΤΙΣΤΑΣΗ Roλ	3,726
31				
32	ΣΥΝΤΕΛΕΣΤΗΣ ΘΕΡΜΟΠΕΡΑΤΟΤΗΤΑΣ U=1/Roλ		0,268	

$$U = 0.268 < 0.45$$

Η τιμή αυτή είναι δεκτή, αφού είναι μικρότερη από την τιμή του κτηρίου αναφοράς που ορίζεται από τον κανονισμό.

Υπολογισμός συντελεστή θερμοπερατότητας σκυροδέματος:

4	ΥΠΟΛΟΓΙΣΜΟΣ ΑΝΤΙΣΤΑΣΗΣ ΘΕΡΜΟΔΙΑΦΥΓΗΣ Rλ					
	A/ A	ΣΤΡΩΣΕΙΣ	ΠΥΚΝΟΤΗΤΑ ρ (Kg/m3)	ΠΑΧΟΣ d (m)	ΣΥΝΤΕΛΕΣΤΗΣ ΘΕΡΜΙΚΗΣ ΑΓΩΓΙΜΟΤΗΤΑΣ λ (W/m²K)	ΘΕΡΜΙΚΗ ΑΝΤΙΣΤΑΣΗ R=d/λ (m²K/W)
5						
6	1	ΑΣΒΕΣΤΟΚΟΝΙΑΜΑ	1.800,00	0,020	0,870	0,023
7	2	ΔΙΟΓΚΩΜΕΝΗ ΠΟΛΥΣΤΕΡΙΝΗ		0,070	0,031	2,258
8	3	ΟΠΛΙΣΜΕΝΟ ΣΚΥΡΟΔΕΜΑ	2.400,00	0,250	2,500	0,100
9	4	ΑΣΒΕΣΤΟΚΟΝΙΑΜΑ	1.800,00	0,020	0,870	0,023
10			ΣΥΝΟΛΙΚΟ ΠΑΧΟΣ	0,360	ΑΝΤΙΣΤΑΣΗ ΘΕΡΜΟΔΙΑΦΥΓΗΣ ΟΛΩΝ ΤΩΝ ΣΤΡΩΣΕΩΝ Rλ	2,404

25	ΑΝΤΙΣΤΑΣΗ ΘΕΡΜΙΚΗΣ ΜΕΤΑΒΑΣΗΣ (ΕΣΩΤΕΡΙΚΑ)	Ri (εσωτ.)	m ² *K/W	0,13
26	ΑΝΤΙΣΤΑΣΗ ΘΕΡΜΟΔΙΑΦΥΓΗΣ	Rλ	m ² *K/W	2,404
27	ΑΝΤΙΣΤΑΣΗ ΘΕΡΜΙΚΗΣ ΜΕΤΑΒΑΣΗΣ (ΕΞΩΤΕΡΙΚΑ)	Ra (εξωτ.)	m ² *K/W	0,04
28	ΑΝΤΙΣΤΑΣΗ ΘΕΡΜΙΚΗΣ ΜΕΤΑΒΑΣΗΣ ΣΕ	Rδ	m ² *K/W	0
29			ΣΥΝΟΛΙΚΗ ΑΝΤΙΣΤΑΣΗ Roλ	2,574
30				
31	ΣΥΝΤΕΛΕΣΤΗΣ ΘΕΡΜΟΠΕΡΑΤΟΤΗΤΑΣ U=1/Roλ		0,388	

$$U = 0.388 < 0.45$$

Η τιμή αυτή είναι δεκτή, αφού είναι μικρότερη από την τιμή του κτηρίου αναφοράς που ορίζεται από τον κανονισμό.

Υπολογισμός συντελεστή θερμοπερατότητας πλάκα οροφής:

4 ΥΠΟΛΟΓΙΣΜΟΣ ΑΝΤΙΣΤΑΣΗΣ ΘΕΡΜΟΔΙΑΦΥΓΗΣ R _Λ					
A/ A	ΣΤΡΩΣΕΙΣ	ΠΥΚΝΟΤΗΤΑ ρ (Kg/m ³)	ΠΑΧΟΣ d (m)	ΣΥΝΤΕΛΕΣΤΗΣ ΘΕΡΜΙΚΗΣ ΑΓΩΓΙΜΟΤΗΤΑΣ λ (W/m*K)	ΘΕΡΜΙΚΗ ΑΝΤΙΣΤΑΣΗ R=d/λ (m ² *K/W)
5					
6	1 ΠΛΑΚΑΚΙ		0,020	1,300	0,015
7	2 ΑΣΒΕΣΤΟΚΟΝΙΑΜΑ	1.800,00	0,050	0,870	0,057
8	3 ΑΣΦΑΛΤΟΠΑΝΟ ΔΙΟΓΚΩΜΕΝΗ	1.200,00	0,002	0,190	0,011
9	4 ΠΟΛΥΣΤΕΡΙΝΗ		0,100	0,035	2,857
10	5 ΟΠΛΙΣΜΕΝΟ ΣΚΥΡΟΔΕΜΑ	2.500,00	0,150	2,500	0,060
11	6 ΑΣΒΕΣΤΟΚΟΝΙΑΜΑ	1.800,00	0,020	0,870	0,023
12		ΣΥΝΟΛΙΚΟ ΠΑΧΟΣ	0,342	ΑΝΤΙΣΤΑΣΗ ΘΕΡΜΟΔΙΑΦΥΓΗΣ ΟΛΩΝ ΤΩΝ ΣΤΡΩΣΕΩΝ R_Λ	3,024
27	ΑΝΤΙΣΤΑΣΗ ΘΕΡΜΙΚΗΣ ΜΕΤΑΒΑΣΗΣ (ΕΣΩΤΕΡΙΚΑ)		R _i (εσωτ.)	m ² *K/W	0,17
28	ΑΝΤΙΣΤΑΣΗ ΘΕΡΜΟΔΙΑΦΥΓΗΣ		R _Λ	m ² *K/W	3,024
29	ΑΝΤΙΣΤΑΣΗ ΘΕΡΜΙΚΗΣ ΜΕΤΑΒΑΣΗΣ (ΕΞΩΤΕΡΙΚΑ)		R _a (εξωτ.)	m ² *K/W	0
30	ΑΝΤΙΣΤΑΣΗ ΘΕΡΜΙΚΗΣ ΜΕΤΑΒΑΣΗΣ ΣΕ ΕΣΩΤΕΡΙΚΟ ΣΤΡΩΜΑ ΑΕΡΑ		R _δ	m ² *K/W	0
31	ΣΥΝΟΛΙΚΗ ΑΝΤΙΣΤΑΣΗ R_{ολ}				3,194
32					
33	ΣΥΝΤΕΛΕΣΤΗΣ ΘΕΡΜΟΠΕΡΑΤΟΤΗΤΑΣ U=1/R_{ολ}			0,313	

$$U = 0.313 < 0.40.$$

Η τιμή αυτή είναι δεκτή, αφού είναι μικρότερη από την τιμή του κτηρίου αναφοράς που ορίζεται από τον κανονισμό.

Η τιμή του συντελεστή θερμικής αγωγιμότητας (λ) του ασφαλτόπανου επιλέχθηκε από τον κατάλογο:

Τύπος κατασκευής		Οριζόντια θερμομονωμένη πλάκα		
A/A	Ονομασία Υλικού	Πάχος Υλικού d (m)	Θερμική Αγωγιμότητα Υλικού λ (W/m K)	Θερμική Αντίσταση Υλικού R (m ² K/W)
1	Ασφαλτόπανο	0,004	0,190	0,02105

Υπολογισμός συντελεστή θερμοπερατότητας δαπέδου σε επαφή με μη θερμαινόμενο χώρο:

1	ΣΥΝΤΕΛΕΣΤΗΣ ΘΕΡΜΟΜΟΝΩΣΗΣ ΔΑΠΕΔΟΥ					
2	ΤΥΠΟΣ : ΟΠΛΙΣΜΕΝΟ ΣΚΥΡΟΔΕΜΑ+ΠΛΑΚΑΚΙ					
3						
4	ΥΠΟΛΟΓΙΣΜΟΣ ΑΝΤΙΣΤΑΣΗΣ ΘΕΡΜΟΔΙΑΦΥΓΗΣ Rλ					
	A/ A	ΣΤΡΩΣΕΙΣ	ΠΥΚΝΟΤΗΤΑ ρ (Kg/m3)	ΠΑΧΟΣ d (m)	ΣΥΝΤΕΛΕΣΤΗΣ ΘΕΡΜΙΚΗΣ ΑΓΩΓΙΜΟΤΗΤΑΣ λ (W/m*K)	ΘΕΡΜΙΚΗ ΑΝΤΙΣΤΑΣΗ R=d/λ (m2*K/W)
5						
6	1	ΠΛΑΚΑΚΙ		0,020	1,300	0,015
7	2	ΑΣΒΕΣΤΟΚΟΝΙΑΜΑ	1.800,00	0,050	0,870	0,057
8	3	ΟΠΛΙΣΜΕΝΟ ΣΚΥΡΟΔΕΜΑ	2.500,00	0,200	2,500	0,080
		ΔΙΟΓΚΩΜΕΝΗ				
9	4	ΠΟΛΥΣΤΕΡΙΝΗ		0,070	0,035	2,000
10						
			ΣΥΝΟΛΙΚΟ ΠΑΧΟΣ	0,340	ΑΝΤΙΣΤΑΣΗ ΘΕΡΜΟΔΙΑΦΥΓΗΣ ΟΛΩΝ ΤΩΝ ΣΤΡΩΣΕΩΝ Rλ	2,153
11						
		ΑΝΤΙΣΤΑΣΗ ΘΕΡΜΙΚΗΣ ΜΕΤΑΒΑΣΗΣ (ΕΣΩΤΕΡΙΚΑ)	Ri (εσωτ.)	m2*K/W		0,17
26						
27		ΑΝΤΙΣΤΑΣΗ ΘΕΡΜΟΔΙΑΦΥΓΗΣ	Rλ	m2*K/W		2,153
		ΑΝΤΙΣΤΑΣΗ ΘΕΡΜΙΚΗΣ ΜΕΤΑΒΑΣΗΣ (ΕΞΩΤΕΡΙΚΑ)	Ra (εξωτ.)	m2*K/W		0
28						
		ΑΝΤΙΣΤΑΣΗ ΘΕΡΜΙΚΗΣ ΜΕΤΑΒΑΣΗΣ ΣΕ ΕΣΩΤΕΡΙΚΟ ΣΤΡΩΜΑ ΑΕΡΑ	Rδ	m2*K/W		0
29						
30			ΣΥΝΟΛΙΚΗ ΑΝΤΙΣΤΑΣΗ Rολ			2,323
31						
32		ΣΥΝΤΕΛΕΣΤΗΣ ΘΕΡΜΟΠΕΡΑΤΟΤΗΤΑΣ U=1/Rολ			0,431	

$$U = 0,431 < 0,9.$$

Η τιμή αυτή είναι δεκτή, αφού είναι μικρότερη από την τιμή του κτηρίου αναφοράς που ορίζεται από τον κανονισμό.

Στο σημείο αυτό θα γίνει εμβαδομέτρηση του κτηρίου.

ΙΣΟΓΕΙΟ

<i>Δομικά Στοιχεία</i>	<i>Εμβαδό (m²)</i>
Συνολικό εμβαδό εξωτερικής τοιχοποιίας	502,6
Οπλισμένο Σκυρόδεμα	178,7
Δοκάρια	28,8
Ανοίγματα	187,26
Οπτοπλινθοδομή	107,75
Πλάκα Ορόφου	780,9

Α' ΟΡΟΦΟΣ

Δομικά Στοιχεία	Εμβαδό (m²)
Συνολικό εμβαδό εξωτερικής τοιχοποιίας	502,6
Οπλισμένο Σκυρόδεμα	175,76
Δοκάρια	30,94
Ανοίγματα	153,22
Οπτοπλινθοδομή	124,28
Πλάκα Ορόφου	780,9

Β' ΟΡΟΦΟΣ

Δομικά Στοιχεία	Εμβαδό (m²)
Συνολικό εμβαδό εξωτερικής τοιχοποιίας	502,6
Οπλισμένο Σκυρόδεμα	207,3
Δοκάρια	31,1
Ανοίγματα	153,94
Οπτοπλινθοδομή	125
Πλάκα Ορόφου	780,9
Πλάκα Οροφής	780,9

Συγκεντρωτικά, για τα δομικά στοιχεία του κτηρίου έχουμε:

Δομικά Στοιχεία	Εμβαδό(m²)	U (W/mK)	UxA (W/K)
Οπτοπλινθοδομή	375	0,268	100,5
Οπλισμένο Σκυρόδεμα	652,7	0,388	253,2
Πλάκα Ορόφου	1561,8	0,313	488,9
Πλάκα Οροφής	780,9	0,313	244,4
Δάπεδο ισογείου	780,9	0,431	336,6
Συνολικά	4151,3		1423,6

3		ΚΟΥΦΩΜΑΤΑ							
4	Τύπος πλαισίου	Μεταλλικό πλαίσιο με θερμοδιακοπή							
5	U _f πλαισίου	2	W/(m ² K)						
6	Τύπος υαλοπίνακα	Υαλοπίνακας με διπλή υάλωση 4-16-4 με αργό στο διάκενο με επίστρωση Low-e <0,05							
7	U _g υαλοπίνακα	1,3	W/(m ² K)						
8	g υαλοπίνακα	0,67							
9	g _{gl} υαλοπίνακα	0,6							
10	Γραμ. θερμοπερ. Ψ _g	0,11	W/(mK)						
11	Πλάτος πλαισίου	10							

[illegible]

49	Α' ΟΡΟΦΟΣ														
50	a/a	Ονομ.	Πλάτος ανοίγματος	Υψος ανοίγματος	Αριθμός φύλλων	Πλάτος υαλοπτάκα	Υψος υαλοπτάκα	Εμβαδό κουφώματος A _w	Εμβαδό πλαισίου A _f	Εμβαδό υαλοπτάκα A _g	Ποσοστό πλαισίου [%]	Μήκος (περίμετρος υαλ/κα) l _g	U _w κουφώματος	g _w κουφώματος	UxA
51		Παράθυρα	[m]	[m]		[m]	[m]	[m ²]	[m ²]	[m ²]		[m]	[W/(m ² K)]		[W/K]
52	1	Π1(2)	3	1.8	3	2.8	1.6	5.40	0.92	4.48	17.04	8.8	1.60		17.26
53	2	Π2(8)	1.4	1.8	2	1.2	1.6	2.52	0.6	1.92	23.8095238	5.6	1.71111111		34.496
54	3	Π3(19)	3.2	1.8	3	3	1.6	5.76	0.96	4.8	16.6666667	9.2	1.59236111		174.268
55	4	Π4(1)	1.6	1.8	2	1.4	1.6	2.88	0.64	2.24	22.2222222	6	1.68472222		4.852
56	5	Π3(2)	3.2	1.4	3	3	1.2	4.48	0.88	3.6	19.6428571	8.4	1.64375		14.728
57		Πόρτες													
58	6	ΠΟΡ1(1)	3.2	2.8	1	3	1.5	8.96	4.46	4.50	49.78	9	1.76		15.76
59															
60															
61	9														

Β' ΟΡΟΦΟΣ														
a/a	Ονομ.	Πλάτος ανοίγματος	Υψος ανοίγματος	Αριθμός φύλλων	Πλάτος υαλοπλάκα	Υψος υαλοπλάκα	Εμβαδό κουφώματος A_w	Εμβαδό πλαισίου A_f	Εμβαδό υαλοπλάκα A_g	Ποσοστό πλαισίου [%]	Μήκος (περίμετρος υαλ/κα) l_g	U_w κουφώματος	g_w κουφώματος	U_xA
	Παράθυρα	[m]	[m]		[m]	[m]	[m ²]	[m ²]	[m ²]		[m]	[W/(m ² K)]		[W/K]
1	Π1(2)	3	1,8	3	2,8	1,6	5,40	0,92	4,48	17,04	8,8	1,60		17,26
2	Π2(8)	1,4	1,8	2	1,2	1,6	2,52	0,6	1,92	23,8095238	5,6	1,71111111		34,496
3	Π3(19)	3,2	1,8	3	3	1,6	5,76	0,96	4,8	16,6666667	9,2	1,59236111		174,268
4	Π4(1)	1,6	1,8	2	1,4	1,6	2,88	0,64	2,24	22,2222222	6	1,68472222		4,852
5	Π3(2)	3,2	1,4	3	3	1,2	4,48	0,88	3,6	19,6428571	8,4	1,64375		14,728
	Πόρτες													
6														
7														
8														
9														

Για κάθε κούφωμα χρησιμοποιήθηκε η εξής κωδικοποίηση:

- ΠJ(K): Παράθυρα, όπου J: αριθμός για κάθε διαφορετικό τύπο παραθύρου και K: το πλήθος των ιδίων παραθύρων στον όροφο. Ο αριθμός K πολλαπλασιάστηκε με το γινόμενο της τελευταίας στήλης UxA.
- ΠΟΡJ(K): Πόρτες, όπου J: αριθμός για κάθε διαφορετικό τύπο πόρτας και K: το πλήθος των ιδίων πορτών στον όροφο. Ο αριθμός K πολλαπλασιάστηκε με το γινόμενο της τελευταίας στήλης UxA.

Για τους συντελεστές θερμοπερατότητας των κουφωμάτων είναι εμφανές ότι είναι όλοι αποδεκτοί, αφού είναι μικρότεροι από την τιμή 2,6 W/(m²K) που ορίζεται από την TOTEE 2017.

Συγκεντρωτικά, έχουμε:

Όροφος	Εμβαδό[m ²]		Σ(UxA)[W/K]
	Πόρτες	Παράθυρα	
Ισόγειο	41,96	145,3	260
A' Όροφος	9	144,26	243,6
B' Όροφος	0	154	247,9
Σύνολο	50,96	443,6	751,5

Για τα συγκεντρωτικά στοιχεία αερισμού θ. ζώνης ισχύει ότι:

Όροφος	Εμβαδό[m ²]		Αερισμός Χαραμάδων[m ³ /h]
	Πόρτες	Παράθυρα	
Ισόγειο	41,96	145,3	262,1
A' Όροφος	9	144,26	214,5
B' Όροφος	0	154	215,5
Σύνολο	50,96	443,6	692,2

Από τον πίνακα 3.24 της TOTEE 2017, έγινε η επιλογή τυπικών τιμών διείσδυσης αέρα λόγω χαραμάδων ανά μονάδα επιφάνειας και είδος κουφώματος. Συγκεκριμένα, επιλέχθηκαν οι τιμές, για κουφώματα με διπλό υαλοπίνακα (κουφώματα μεταλλικά με πιστοποίηση κλάσης 3) με τιμές:

- 1,4 m³/h/m² για πόρτες
- 1,4 m³/h/m² για παράθυρα

3.2 Θερμογέφυρες

Θερμογέφυρες ονομάζονται οι θέσεις στο κέλυφος ενός κτηρίου στις οποίες εμφανίζεται σε σχέση με τις γειτονικές τους διαφοροποίηση στη θερμική μόνωση των δομικών στοιχείων είτε λόγω ασυνέχειας της στρώσης θερμομόνωσης είτε λόγω διαφοροποίηση του υλικού κατά μήκος του δομικού στοιχείου είτε λόγω αλλαγής στη γεωμετρία της διατομής.

Ως προς τις αιτίες δημιουργίας τους οι θερμογέφυρες διακρίνονται σε:

- Κατασκευαστικές
- Γεωμετρικές
- Σε συνδυασμό των δύο παραπάνω

Ανάλογα με τη μορφή τους διακρίνονται σε:

- Γραμμικές
- Σημειακές

Οι σημειακές θερμογέφυρες δεν έχουν καμία διάσταση και για τα ελληνικά δεδομένα θεωρείται αμελητέα, γι' αυτό και δεν λαμβάνονται υπόψη στους υπολογισμούς σύμφωνα με την Τ.Ο.Τ.Ε.Ε 20701-2.

Ανάλογα με τη θέση εμφάνισης τους στο κτήριο, οι θερμογέφυρες διακρίνονται σε:

- Κατακόρυφες
- Οριζόντιες
- Θερμογέφυρες κουφωμάτων

Οι κατακόρυφες θερμογέφυρες διακρίνονται σε:

- Θερμογέφυρες εξωτερικών γωνιών
- Θερμογέφυρες εσωτερικών γωνιών
- Θερμογέφυρες ένωσης δομικών στοιχείων

Οι οριζόντιες θερμογέφυρες διακρίνονται σε:

- Θερμογέφυρες δώματος ή οροφής σε προεξοχή
- Θερμογέφυρες δαπέδου σε προεξοχή ή δαπέδου επάνω από πυλωτή
- Θερμογέφυρες οροφής σε εσοχή
- Θερμογέφυρες δαπέδου σε εσοχή
- Θερμογέφυρες ενδιάμεσου δαπέδου
- Θερμογέφυρες περιδέσμου ενίσχυσης
- Θερμογέφυρες δαπέδου που εδράζεται σε έδαφος

Επίσης, θερμογέφυρες εντοπίζονται και στις θέσεις συναρμογής των κουφωμάτων με τα συμπαγή δομικά στοιχεία. Διακρίνονται σε:

- Θερμογέφυρες στο ανωκάσι/κατωκάσι του κουφώματος
- Θερμογέφυρες στο λαμπά του κουφώματος

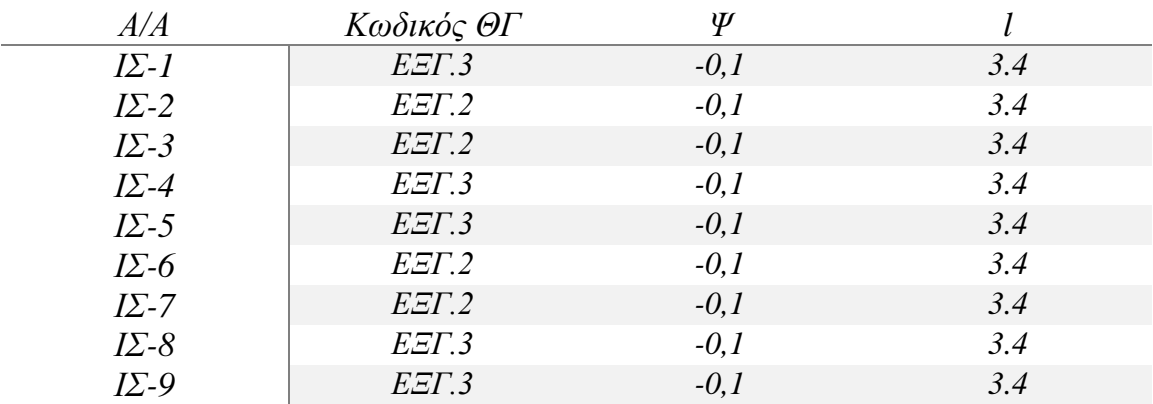
Σύμφωνα με όλα τα παραπάνω η ανάγκη για εύρεση των θερμογεφυρών σε ένα κτήριο είναι επιτακτική. Γι' αυτό, ακολουθεί ο υπολογισμός των θερμογεφυρών για το κτήριο που μελετάται. Η μαθηματική σχέση για τον υπολογισμό μίας θερμογέφυρας είναι $\Psi \cdot l$, όπου:

- Ψ : Συντελεστή γραμμικής θερμοπερατότητας
- l : Μήκος θερμογέφυρας

Ο συντελεστής Ψ υπολογίζεται σύμφωνα με τους παρακάτω πίνακες . Η κωδικοποίηση των θερμογεφυρών που χρησιμοποιείται στην παρούσα τεχνική έκθεση υιοθετεί τα πρότυπα των σελίδων 269-281 της 2^{ης} TOTEE του KENAK.

Θερμογέφυρες Ισογείου (Θερμική Ζώνη 1):

Αρχικά εντοπίζονται οι θερμογέφυρες εξωτερικών γωνιών. Ενδεικτικά:



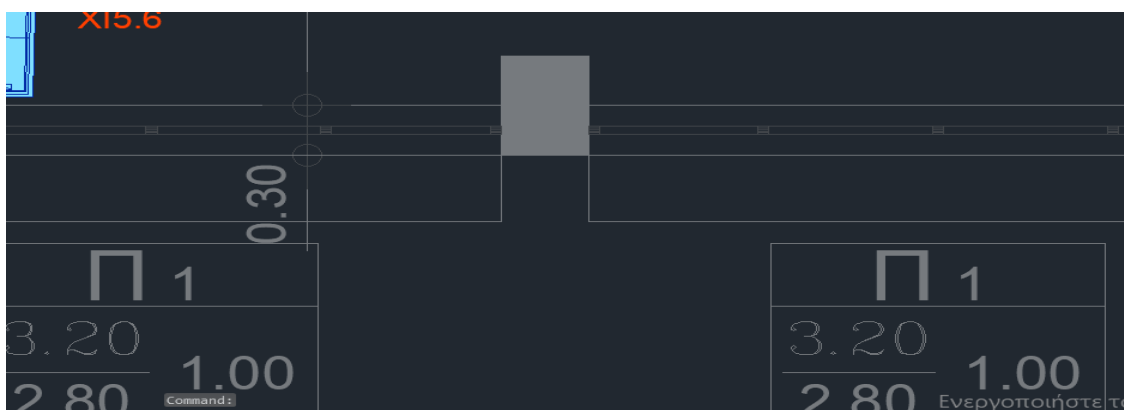
Στη συνέχεια, εντοπίζονται οι θερμογέφυρες εσωτερικών γωνιών. Ενδεικτικά:



<i>ΙΣ-11</i>	<i>ΕΣΓ.4</i>	<i>+0,05</i>	<i>3.4</i>
<i>ΙΣ-12</i>	<i>ΕΣΓ.3</i>	<i>+0,05</i>	<i>3.4</i>
<i>ΙΣ-13</i>	<i>ΕΣΓ.3</i>	<i>+0,05</i>	<i>3.4</i>
<i>ΙΣ-14</i>	<i>ΕΣΓ.2</i>	<i>+0,05</i>	<i>3.4</i>

Συνολικά προκύπτουν απώλειες: +0,85W/K

Έπειτα, εντοπίζονται οι θερμογέφυρες από την ένωση των δομικών στοιχείων (μπατικής και σκυροδέματος). Ενδεικτικά:



<i>A/A</i>	<i>Κωδικός ΘΓ</i>	<i>Ψ</i>	<i>l</i>
<i>ΙΣ-15</i>	<i>ΣΣ-1</i>	<i>0</i>	<i>1,4</i>
<i>ΙΣ-16</i>	<i>ΣΣ-1</i>	<i>0</i>	<i>1,4</i>
<i>ΙΣ-17</i>	<i>ΣΣ-1</i>	<i>0</i>	<i>1,4</i>
<i>ΙΣ-18</i>	<i>ΣΣ-1</i>	<i>0</i>	<i>1,4</i>
<i>ΙΣ-19</i>	<i>ΣΣ-1</i>	<i>0</i>	<i>1,4</i>
<i>ΙΣ-20</i>	<i>ΣΣ-1</i>	<i>0</i>	<i>1,4</i>
<i>ΙΣ-21</i>	<i>ΣΣ-1</i>	<i>0</i>	<i>1,4</i>
<i>ΙΣ-22</i>	<i>ΣΣ-1</i>	<i>0</i>	<i>1,4</i>
<i>ΙΣ-23</i>	<i>ΣΣ-1</i>	<i>0</i>	<i>1,4</i>
...
<i>ΙΣ-74</i>	<i>ΣΣ-1</i>	<i>0</i>	<i>1,4</i>

Συνολικά, οι απώλειες ισογείου εξαιτίας των θερμογεφυρών από την ένωση των δομικών στοιχείων είναι: $\Theta\Gamma = 0 \text{ W/K}$.

Στο σημείο αυτό θα πρέπει να υπολογιστούν οι οριζόντιες θερμογέφυρες του ισογείου. Αρχικά, θερμογέφυρες εντοπίζονται στο δάπεδο του ισογείου που έρχεται σε επαφή με το υπόγειο όπου υπάρχουν απώλειες στη θερμική ροή. Διακρίνονται δύο περιπτώσεις. Η κατακόρυφη τοιχοποιία να είναι είτε σκυρόδεμα(ΕΔ-1) είτε μπατική(ΕΔ-9) .

<i>A/A</i>	<i>Κωδικός ΘΓ</i>	<i>Ψ</i>	<i>l</i>
<i>ΙΣ-75</i>	<i>ΕΔ-9</i>	<i>+0,55</i>	<i>7,6</i>
<i>ΙΣ-76</i>	<i>ΕΔ-9</i>	<i>+0,55</i>	<i>0,4</i>
<i>ΙΣ-77</i>	<i>ΕΔ-9</i>	<i>+0,55</i>	<i>2,0</i>
<i>ΙΣ-78</i>	<i>ΕΔ-9</i>	<i>+0,55</i>	<i>1,2</i>
<i>ΙΣ-79</i>	<i>ΕΔ-9</i>	<i>+0,55</i>	<i>2,0</i>
<i>ΙΣ-80</i>	<i>ΕΔ-9</i>	<i>+0,55</i>	<i>1,4</i>
<i>ΙΣ-81</i>	<i>ΕΔ-9</i>	<i>+0,55</i>	<i>1,4</i>
<i>ΙΣ-82</i>	<i>ΕΔ-9</i>	<i>+0,55</i>	<i>2,0</i>
<i>ΙΣ-83</i>	<i>ΕΔ-9</i>	<i>+0,55</i>	<i>0,4</i>
<i>ΙΣ-84</i>	<i>ΕΔ-9</i>	<i>+0,55</i>	<i>2</i>
<i>ΙΣ-85</i>	<i>ΕΔ-9</i>	<i>+0,55</i>	<i>0,4</i>
<i>ΙΣ-86</i>	<i>ΕΔ-9</i>	<i>+0,55</i>	<i>2</i>
<i>ΙΣ-87</i>	<i>ΕΔ-9</i>	<i>+0,55</i>	<i>11,2</i>
<i>ΙΣ-88</i>	<i>ΕΔ-9</i>	<i>+0,55</i>	<i>0,8</i>
<i>ΙΣ-89</i>	<i>ΕΔ-9</i>	<i>+0,55</i>	<i>4</i>
<i>ΙΣ-90</i>	<i>ΕΔ-9</i>	<i>+0,55</i>	<i>1,2</i>
<i>ΙΣ-91</i>	<i>ΕΔ-9</i>	<i>+0,55</i>	<i>5,4</i>
<i>ΙΣ-92</i>	<i>ΕΔ-9</i>	<i>+0,55</i>	<i>7,6</i>
<i>ΙΣ-93</i>	<i>ΕΔ-9</i>	<i>+0,55</i>	<i>1,2</i>
<i>ΙΣ-94</i>	<i>ΕΔ-9</i>	<i>+0,55</i>	<i>2</i>
<i>ΙΣ-95</i>	<i>ΕΔ-9</i>	<i>+0,55</i>	<i>0,8</i>
<i>ΙΣ-96</i>	<i>ΕΔ-9</i>	<i>+0,55</i>	<i>2</i>
<i>ΙΣ-97</i>	<i>ΕΔ-9</i>	<i>+0,55</i>	<i>0,8</i>
<i>ΙΣ-98</i>	<i>ΕΔ-9</i>	<i>+0,55</i>	<i>2</i>

Συνολικά οι απώλειες εξαιτίας των θερμογεφυρών που δημιουργούνται από την επαφή του δαπέδου με το υπόγειο είναι: $0,55 \cdot 34 = 17 \text{ W/K}$.

Συγκεντρωτικά, οι θερμογέφυρες τύπου ΔΠ-16 που δημιουργούνται προκαλούν απώλειες, $\Theta\Gamma = l_{\text{συνολικό}} \cdot \Psi = 71,4 \cdot 0,05 = 3,57 \text{ W/K}$.

Στη συνέχεια υπολογίζονται οι θερμογέφυρες που δημιουργούνται από ενδιάμεσο επίπεδο (Ισόγειο- Α' όροφος). Αρχικά:

<i>A/A</i>	<i>Κωδικός ΘΓ</i>	<i>Ψ</i>	<i>l</i>
<i>ΙΣ-99</i>	<i>ΕΔ-3</i>	<i>0</i>	<i>13*3,2</i>
<i>ΙΣ-100</i>	<i>ΕΔ-3</i>	<i>0</i>	<i>2*3,0</i>
<i>ΙΣ-101</i>	<i>ΕΔ-3</i>	<i>0</i>	<i>5*1,6</i>
<i>ΙΣ-102</i>	<i>ΕΔ-3</i>	<i>0</i>	<i>4*1,4</i>

Συνολικά, οι απώλειες εξαιτίας των θερμογεφυρών που σχηματίζονται από το ενδιάμεσο επίπεδο είναι: 0 W/K , επειδή ο συντελεστής γραμμικής θερμοπερατότητας είναι ίσος με

μηδέν. Το ίδιο συμβαίνει, για τις θερμογέφυρες τύπου ΕΔ-1 με συντελεστή γραμμικής θερμοπερατότητας $\Psi = 0$.

Τέλος, θα υπολογιστούν οι θερμογέφυρες που οφείλονται στα κουφώματα.

Αρχικά, θα εξεταστούν οι θερμογέφυρες σε λαμπά κουφώματος. Τα ύψη των παραθύρων είναι 1,8 μέτρα.

<i>A/A</i>	<i>Κωδικός ΘΓ</i>	<i>Ψ</i>	<i>l</i>
<i>ΙΣ-103</i>	<i>ΛΠ-9</i>	<i>+0,6</i>	<i>48*1,8</i>
<i>ΙΣ-104</i>	<i>ΛΠ-9</i>	<i>+0,6</i>	<i>8*2,8</i>
<i>ΙΣ-105</i>	<i>ΛΠ-9</i>	<i>+0,6</i>	<i>4*0,8</i>
<i>ΙΣ-106</i>	<i>ΛΠ-9</i>	<i>+0,6</i>	<i>2*2,35</i>

Οι συνολικές απώλειες που οφείλονται σε θερμογέφυρες σε λαμπά κουφώματος είναι: 70 W/K.

Επιπλέον, θα εξεταστούν οι θερμογέφυρες στο ανωκάσι και κατωκάσι των κουφωμάτων.

<i>A/A</i>	<i>Κωδικός ΘΓ</i>	<i>Ψ</i>	<i>l</i>
<i>ΙΣ-107</i>	<i>ΥΠ-6</i>	<i>+0,55</i>	<i>4*3</i>
<i>ΙΣ-108</i>	<i>ΥΠ-6</i>	<i>+0,55</i>	<i>10*1,6</i>
<i>ΙΣ-109</i>	<i>ΥΠ-6</i>	<i>+0,55</i>	<i>26*3,2</i>
<i>ΙΣ-110</i>	<i>ΥΠ-6</i>	<i>+0,55</i>	<i>12*1,4</i>
<i>ΙΣ-111</i>	<i>ΥΠ-6</i>	<i>+0,55</i>	<i>4*2</i>
<i>ΙΣ-112</i>	<i>ΥΠ-1</i>	<i>+0,05</i>	<i>7,2</i>

Συνολικά, οι απώλειες που προκύπτουν από το ανωκάσι και το κατωκάσι των κουφωμάτων είναι: 75,2 W/K.

Συνοπτικά, οι απώλειες εξαιτίας των θερμογεφυρών στο ισόγειο είναι: **93,6 W/K**.

Η ίδια μεθοδολογία θα χρησιμοποιηθεί και για τον εντοπισμό των υπόλοιπων θερμογεφυρών στο κτήριο.

Θερμογέφυρες Α' Ορόφου (Θερμική Ζώνη 2):

Αρχικά εντοπίζονται οι θερμογέφυρες εξωτερικών γωνιών.

<i>A/A</i>	<i>Κωδικός ΘΓ</i>	<i>Ψ</i>	<i>l</i>
<i>ΑΟ-1</i>	<i>ΕΞΓ.3</i>	<i>-0,1</i>	<i>3.4</i>
<i>ΑΟ-2</i>	<i>ΕΞΓ.2</i>	<i>-0,1</i>	<i>3.4</i>
<i>ΑΟ-3</i>	<i>ΕΞΓ.2</i>	<i>-0,1</i>	<i>3.4</i>
<i>ΑΟ-4</i>	<i>ΕΞΓ.3</i>	<i>-0,1</i>	<i>3.4</i>
<i>ΑΟ-5</i>	<i>ΕΞΓ.3</i>	<i>-0,1</i>	<i>3.4</i>

ΑΟ-6

ΕΞΓ.3

-0,1

3.4

Οι απώλειες που οφείλονται σε θερμογέφυρες εξωτερικών γωνιών στον πρώτο όροφο είναι $\Theta\Gamma = -2,1 \text{ W/K}$.

Στη συνέχεια εντοπίζονται οι θερμογέφυρες εσωτερικών γωνιών.

A/A	Κωδικός $\Theta\Gamma$	Ψ	l
ΑΟ-7	ΕΣΓ.2	+0,05	3.4
ΑΟ-8	ΕΣΓ.2	+0,05	3.4

Οι απώλειες που οφείλονται σε θερμογέφυρες εσωτερικών γωνιών στον πρώτο όροφο είναι ίσες με $0,34 \text{ W/K}$.

Έπειτα υπολογίζονται οι θερμογέφυρες από τις ενώσεις δομικών στοιχείων.

A/A	Κωδικός $\Theta\Gamma$	Ψ	l
ΑΟ-9	ΣΣ-1	0	1,4
ΑΟ-10	ΣΣ-1	0	1,4
ΑΟ-11	ΣΣ-1	0	1,4
ΑΟ-18	ΣΣ-1	0	1,4
ΑΟ-12	ΣΣ-1	0	1,4
ΑΟ-13	ΣΣ-1	0	1,4
ΑΟ-14	ΣΣ-1	0	1,4
ΑΟ-15	ΣΣ-1	0	1,4
ΑΟ-16	ΣΣ-1	0	1,4
...
ΑΟ-75	ΣΣ-1	0	1,4

Οι απώλειες που οφείλονται σε θερμογέφυρες επαφής δομικών στοιχείων στον πρώτο όροφο είναι ίσες με 0 W/K .

Ακολουθεί ο υπολογισμός των οριζόντιων θερμογεφυρών. Αρχικά, θα υπολογιστούν οι θερμογέφυρες που δημιουργούνται εξαιτίας του ενδιάμεσου δαπέδου(Α'-Β' όροφος). Συγκεκριμένα:

A/A	Κωδικός $\Theta\Gamma$	Ψ	l
ΑΟ-76	ΕΔ-3	0	13*3,2
ΑΟ-77	ΕΔ-3	0	2*3,0
ΑΟ-78	ΕΔ-3	0	5*1,6
ΑΟ-79	ΕΔ-3	0	4*1,4

Συνολικά οι απώλειες λόγω των οριζόντιων θερμογεφυρών ενδιάμεσου ορόφου είναι ίσες με: 0 W/K .

Επίσης, θα εξετασθούν οι θερμογέφυρες στα κουφώματα. Αρχικά, σε λαμπά κουφώματος:

<i>A/A</i>	<i>Κωδικός ΘΓ</i>	<i>Ψ</i>	<i>l</i>
<i>AO-80</i>	<i>ΛΠ-9</i>	<i>+0,6</i>	<i>58*1,8</i>
<i>AO-81</i>	<i>ΛΠ-9</i>	<i>+0,6</i>	<i>2*2,8</i>
<i>AO-82</i>	<i>ΛΠ-9</i>	<i>+0,6</i>	<i>2*1,4</i>

Συνολικά οι απώλειες εξαιτίας των θερμογεφυρών σε λαμπά κουφώματος είναι ίσες με: 67,7 W/K.

Επιπλέον, θα εξετασθούν οι θερμογέφυρες στο ανωκάσι και κατωκάσι των κουφωμάτων.

<i>A/A</i>	<i>Κωδικός ΘΓ</i>	<i>Ψ</i>	<i>l</i>
<i>AO-89</i>	<i>ΥΠ-6</i>	<i>+0,55</i>	<i>4*3</i>
<i>AO-90</i>	<i>ΥΠ-6</i>	<i>+0,55</i>	<i>2*1,6</i>
<i>AO-91</i>	<i>ΥΠ-6</i>	<i>+0,55</i>	<i>41*3,2</i>
<i>AO-92</i>	<i>ΥΠ-6</i>	<i>+0,55</i>	<i>14*1,4</i>

Συνολικά οι απώλειες εξαιτίας των θερμογεφυρών στο ανωκάσι και κατωκάσι των κουφωμάτων είναι: 157,2 W/K.

Συνοπτικά, οι απώλειες εξαιτίας των θερμογεφυρών στον Α' όροφο είναι: **223,2 W/K**.

Θερμογέφυρες Β' Ορόφου (Θερμική Ζώνη 3):

Αρχικά εντοπίζονται οι θερμογέφυρες εξωτερικών γωνιών.

<i>A/A</i>	<i>Κωδικός ΘΓ</i>	<i>Ψ</i>	<i>l</i>
<i>BO-1</i>	<i>ΕΞΓ.3</i>	<i>-0,1</i>	<i>3.4</i>
<i>BO-2</i>	<i>ΕΞΓ.2</i>	<i>-0,1</i>	<i>3.4</i>
<i>BO-3</i>	<i>ΕΞΓ.2</i>	<i>-0,1</i>	<i>3.4</i>
<i>BO-4</i>	<i>ΕΞΓ.3</i>	<i>-0,1</i>	<i>3.4</i>
<i>BO-5</i>	<i>ΕΞΓ.3</i>	<i>-0,1</i>	<i>3.4</i>
<i>BO-6</i>	<i>ΕΞΓ.3</i>	<i>-0,1</i>	<i>3.4</i>

Οι απώλειες που οφείλονται σε θερμογέφυρες εξωτερικών γωνιών στον δεύτερο όροφο είναι $\Theta\Gamma = -2,1 \text{ W/K}$.

Στη συνέχεια εντοπίζονται οι θερμογέφυρες εσωτερικών γωνιών.

<i>A/A</i>	<i>Κωδικός ΘΓ</i>	<i>Ψ</i>	<i>l</i>
<i>BO-7</i>	<i>ΕΣΓ.2</i>	<i>+0,05</i>	<i>3.4</i>
<i>BO-8</i>	<i>ΕΣΓ.2</i>	<i>+0,05</i>	<i>3.4</i>

Οι απώλειες που οφείλονται σε θερμογέφυρες εσωτερικών γωνιών στον δεύτερο όροφο είναι ίσες με 0,34 W/K.

Έπειτα υπολογίζονται οι θερμογέφυρες από τις ενώσεις δομικών στοιχείων.

<i>A/A</i>	<i>Κωδικός ΘΓ</i>	<i>Ψ</i>	<i>l</i>
<i>BO-9</i>	<i>ΣΣ-1</i>	<i>0</i>	<i>1,4</i>
<i>BO-10</i>	<i>ΣΣ-1</i>	<i>0</i>	<i>1,4</i>
<i>BO-11</i>	<i>ΣΣ-1</i>	<i>0</i>	<i>1,4</i>
<i>BO-18</i>	<i>ΣΣ-1</i>	<i>0</i>	<i>1,4</i>
<i>BO-12</i>	<i>ΣΣ-1</i>	<i>0</i>	<i>1,4</i>
<i>BO-13</i>	<i>ΣΣ-1</i>	<i>0</i>	<i>1,4</i>
<i>BO-14</i>	<i>ΣΣ-1</i>	<i>0</i>	<i>1,4</i>
<i>BO-15</i>	<i>ΣΣ-1</i>	<i>0</i>	<i>1,4</i>
<i>BO-16</i>	<i>ΣΣ-1</i>	<i>0</i>	<i>1,4</i>
...
<i>BO-75</i>	<i>ΣΣ-1</i>	<i>0</i>	<i>1,4</i>

Οι απώλειες που οφείλονται σε θερμογέφυρες επαφής δομικών στοιχείων στον δεύτερο όροφο είναι ίσες με 0 W/K.

Ακολουθεί ο υπολογισμός των οριζόντιων θερμογεφυρών. Αρχικά, θα υπολογιστούν οι θερμογέφυρες οροφής σε προεξοχή. Συγκεκριμένα, σε όλη την περίμετρο του κτηρίου (157 μέτρα) έχουν τοποθετηθεί δοκάρια, τα οποία είναι κατασκευές από σκυρόδεμα, γι' αυτό θεωρούμε και ότι είναι εξωτερικά μονωμένα. Έτσι, σε όλη την περίμετρο του Β' ορόφου σχηματίζονται θερμογέφυρες οροφής σε προεξοχή. Ο συντελεστής γραμμικής αγωγιμότητας είναι ίσος με 0,45 (ΔΣ-14). Οι απώλειες εξαιτίας αυτών των θερμογεφυρών είναι ίσες με: $157 * 0,45 = 70,65$ W/K.

Επίσης, θα εξετασθούν οι θερμογέφυρες στα κουφώματα. Αρχικά, σε λαμπά κουφώματος:

<i>A/A</i>	<i>Κωδικός ΘΓ</i>	<i>Ψ</i>	<i>l</i>
<i>BO-76</i>	<i>ΛΠ-9</i>	<i>+0,6</i>	<i>58*1,8</i>

<i>BO-77</i>	<i>ΛΠ-9</i>	<i>+0,6</i>	<i>2*2,8</i>
<i>BO-78</i>	<i>ΛΠ-9</i>	<i>+0,6</i>	<i>2*1,4</i>

Συνολικά οι απώλειες εξαιτίας των θερμογεφυρών σε λαμπά κουφώματος είναι ίσες με: 67,7 W/K.

Επιπλέον, θα εξεταστούν οι θερμογέφυρες στο ανωκάσι και κατωκάσι των κουφωμάτων.

<i>A/A</i>	<i>Κωδικός ΘΓ</i>	<i>Ψ</i>	<i>l</i>
<i>BO-79</i>	<i>ΥΠ-6</i>	<i>+0,55</i>	<i>4*3</i>
<i>BO-80</i>	<i>ΥΠ-6</i>	<i>+0,55</i>	<i>2*1,6</i>
<i>BO-81</i>	<i>ΥΠ-6</i>	<i>+0,55</i>	<i>41*3,2</i>
<i>BO-82</i>	<i>ΥΠ-6</i>	<i>+0,55</i>	<i>14*1,4</i>

Συνολικά οι απώλειες εξαιτίας των θερμογεφυρών στο ανωκάσι και κατωκάσι των κουφωμάτων είναι: 157,2 W/K.

Συνοπτικά, οι απώλειες εξαιτίας των θερμογεφυρών στον Β' όροφο είναι: **293,8 W/K**.

Συνολικά οι απώλειες θερμογεφυρών στο κτήριο είναι

<i>A/A</i>	<i>Ισόγειο</i>	<i>A' Όροφος</i>	<i>B' Όροφος</i>
<i>Απώλειες θερμογεφυρών (W/K)</i>	<i>93,6</i>	<i>223,2</i>	<i>293,8</i>
<i>Συνολικά</i>		<i>610,6</i>	

3.3 Υπολογισμός U_m

Στο σημείο αυτό θα υπολογιστεί ο μέσος συντελεστής θερμοπερατότητας του κτηρίου. Θα χρησιμοποιηθούν οι τιμές U του κάθε δομικού στοιχείου, το εμβαδό κάθε δομικού στοιχείου στο κέλυφος του κτηρίου και το άθροισμα των θερμογεφυρών.

Συγκεντρωτικά, στο κτήριο έχουμε:

	<i>Εμβαδό (m^2)</i>	<i>$\Sigma(bxUxA)$ [W/K]</i>
<i>Αδιαφανή Δομικά Στοιχεία</i>	<i>4151,3</i>	<i>1423,6</i>
<i>Διαφανή Δομικά Στοιχεία</i>	<i>494,6</i>	<i>751,5</i>
<i>Θερμογέφυρες</i>	<i>-</i>	<i>610,6</i>
<i>Συνολικά</i>	<i>4645,9</i>	<i>2785,7</i>

Ο όγκος του κτηρίου είναι: $V = 780,9m^2 \times 3,4m \times 3 = 7965,2 m^3$.

Άρα, ο λόγος $A/V = 4645,9/7965,2 = 0,58 m^{-1}$. Από τον πίνακα 3.3β της TOTEE 2017, έχουμε ότι: $U_{max} = 0,89 W/K$.

Στο κτήριο προς μελέτη, ισχύει ότι: $U_m = 2785,7/4645,9 = 0,599 W/K$.

Δηλαδή, $U_m < U_{max}$.

3.4 Συντελεστές Σκίασης

Σε αυτό το σημείο θα υπολογισθούν οι συντελεστές σκίασης από μακρινά εμπόδια, οι οριζόντιοι και κατακόρυφοι πρόβολοι, σύμφωνα με τον κανονισμό του της TOTEE 2017.

Κατά τη διάρκεια του έτους, η ημερήσια κίνηση του ήλιου μεταβάλλεται. Η ύπαρξη μακρινών εμποδίων δημιουργεί σκίαση στις επιφάνειες. Οι συντελεστές σκίασης περιλαμβάνουν τρία ζευγάρια συντελεστών:

- Σκίαση λόγω μακρινών εμποδίων
- Σκίαση λόγω οριζόντιων προβόλων
- Σκίαση λόγω πλευρικών εμποδίων

Για κάθε έναν από αυτούς θα υπολογισθεί ένας συντελεστής για το χειμώνα και ένας για το καλοκαίρι.

Ισόγειο:

Οι υπολογισμοί θα γίνουν σε ένα φύλλο Excel και τα αποτελέσματα θα συγκεντρωθούν σε έναν πίνακα παρακάτω. Εξαιτίας του σχήματος που έχει το κτήριο, οι τοιχοποιίες και τα κουφώματα, θα κατηγοριοποιούνται και ανάλογα με την απόσταση που απέχουν από το γειτονικό κτήριο. Θα δοθούν ενδεικτικά οι υπολογισμοί εξαιτίας σκίασης ορίζοντα, οριζόντιων προβόλων και πλευρικών προεξοχών για μια τοιχοποιία και ένα κούφωμα.

Ενδεικτικά, για οριζόντια απόσταση τοιχοποιίας ίση με 10 μέτρα, ισχύει ότι:

1		ΣΚΙΑΣΜΟΣ ΟΨΕΩΝ			
2					
3		A.1 ΥΠΟΛΟΓΙΣΜΟΣ ΣΚΙΑΣΗΣ ΑΠΟ ΚΑΤΑΚΟΡΥΦΟ ΔΙΑΦΑΝΕΣ ΔΟΜΙΚΟ ΣΤΟΙΧΕΙΟ			
4					
5		<u>Υπολογισμός γωνίας εμποδίου α</u>			
6					
7		H [m]	D [m]	Υ [m]	α [°]
8		Ύψος στοιχείου	Απόσταση από εμπόδιο	Ύψος εμποδίου	Γωνία εμποδίου
9		3,4	10	15	53,06

$$F_{hor,h} = 1,00$$

$$F_{hor,c} = 0,88$$

Ενδεικτικά, για ένα κούφωμα σε απόσταση 24,2 μέτρα ισχύει:

39		A.2 ΥΠΟΛΟΓΙΣΜΟΣ ΣΚΙΑΣΗΣ ΑΠΟ ΚΑΤΑΚΟΡΥΦΟ ΔΙΑΦΑΝΕΣ ΔΟΜΙΚΟ ΣΤΟΙΧΕΙΟ (ΚΟΥΦΩΜΑ)			
40					
41		<u>Υπολογισμός γωνίας εμποδίου α</u>			
42					
43		Υ _π [m]	H [m]	D [m]	Υ [m]
44		Απόσταση ποδιάς από έδαφος	Ύψος κουφώματος	Απόσταση από εμπόδιο	Ύψος εμποδίου
45		2	0,8	24,2	15
					27,50

$$F_{hor,h} = 1,00$$

$$F_{hor,c} = 0,89$$

ΙΣΟΓΕΙΟ

ΟΨΗ: ΒΟΡΕΙΑ										
	L(m)	α [°]	Συντελεστής Σκίασης Ορίζοντα		β [°]	Οριζόντιοι Πρόβολοι		γ [°]	Πλευρικές Προεξοχές	
			$F_{hor,h}$	$F_{hor,c}$		$F_{ov,h}$	$F_{ov,c}$		$F_{fin,h}$	$F_{fin,c}$
T1	10	53,06	1,00	0,88	-	1,00	1,00	-	1,00	1,00
T2	24,2	28,79	1,00	0,89	-	1,00	1,00	85,2	1,00	0,94
T3	31,9	22,63	1,00	0,90	-	1,00	1,00	52,7	1,00	0,94
ΠΑ1 (1)	24,2	27,50	1,00	0,89	32,20	0,77	0,80	85,2	1,00	0,94
ΠΑ2 (3)	31,9	22,33	1,00	0,90	21,04	0,85	0,87	*	*	*

ΙΣΟΓΕΙΟ

ΟΨΗ: ΑΝΑΤΟΛΙΚΗ										
	L(m)	α [°]	Συντελεστής Σκίασης Ορίζοντα		β [°]	Οριζόντιοι Πρόβολοι		γ [°]	Πλευρικές Προεξοχές	
			$F_{hor,h}$	$F_{hor,c}$		$F_{ov,h}$	$F_{ov,c}$		$F_{fin,h}$	$F_{fin,c}$
T1	10	39,69	0,57	0,69	-	1,00	1,00	-	1,00	1,00
ΠΑ1 (10)	10	39,01	0,57	0,69	21,04	0,85	0,87	-	1,00	1,00
ΠΟ1 (2)	10	40,70	0,56	0,68	15,52	0,90	0,89	-	1,00	1,00

ΙΣΟΓΕΙΟ

ΟΨΗ: ΝΟΤΙΑ										
	L(m)	α [°]	Συντελεστής Σκίασης Ορίζοντα		β [°]	Οριζόντιοι Πρόβολοι		γ [°]	Πλευρικές Προεξοχές	
			$F_{hor,h}$	$F_{hor,c}$		$F_{ov,h}$	$F_{ov,c}$		$F_{fin,h}$	$F_{fin,c}$
T1	11,5	32,41	0,57	0,92	-	1,00	1,00	-	1,00	1,00
T2	22,2	18,2	0,87	0,98	-	1,00	1,00	44,8	0,87	0,88
ΠΑ1 (1)	11,5	31,69	0,58	0,92	21,04	0,87	0,81	-	1,00	1,00
ΠΑ2 (6)	22,2	17,74	0,88	0,98	21,04	0,87	0,81	*	*	*

ΙΣΟΓΕΙΟ

	L(m)	$\alpha [^\circ]$	Όψη: ΔΥΤΙΚΗ							
			Συντελεστής Σκίασης Ορίζοντα		$\beta [^\circ]$	Οριζόντιοι Πρόβολοι		$\gamma [^\circ]$	Πλευρικές Προεξοχές	
			$F_{hor,h}$	$F_{hor,c}$		$F_{ov,h}$	$F_{ov,c}$		$F_{fin,h}$	$F_{fin,c}$
T1	12	40,64	0,56	0,68	-	1,00	1,00	-	1,00	1,00
T2	26,5	21,24	0,78	0,84	-	1,00	1,00	87,2	0,62	0,82
T3	34,2	16,76	0,84	0,88	-	1,00	1,00	76,3	0,62	0,82
T3	34,2	16,76	0,84	0,88	53,53	0,62	0,56	63,2	0,69	0,86
ΠΟ1 (1)	12	42,05	0,56	0,67	15,52	0,90	0,89	-	1,00	1,00
ΠΟ2 (1)	34,2	17,22	0,83	0,87	50,19	0,66	0,60	76,3	0,62	0,82
ΠΑ2 (1)	26,5	17,98	0,82	0,86	32,01	0,82	0,78	87,2	0,62	0,82
ΠΑ3 (4)	34,2	16,45	0,85	0,87	21,04	0,87	0,85	*	*	*

Α' Όροφος:

Α' ΟΡΟΦΟΣ

	L(m)	$\alpha [^\circ]$	Όψη: ΒΟΡΕΙΑ							
			Συντελεστής Σκίασης Ορίζοντα		$\beta [^\circ]$	Οριζόντιοι Πρόβολοι		$\gamma [^\circ]$	Πλευρικές Προεξοχές	
			$F_{hor,h}$	$F_{hor,c}$		$F_{ov,h}$	$F_{ov,c}$		$F_{fin,h}$	$F_{fin,c}$
T1	10	49,24	1,00	0,88	-	1,00	1,00	-	1,00	1,00
T3	31,9	19,98	1,00	0,90	-	1,00	1,00	52,7	1,00	0,94
ΠΟ1 (1)	31,9	17,73	1,00	0,92	74,74	0,43	0,46	85,2	1,00	0,94
ΠΑ2 (3)	31,9	16,91	1,00	0,92	21,04	0,85	0,87	*	*	*
ΠΑ3 (1)	31,9	16,91	1,00	0,92	53,43	0,58	0,62	*	*	*

Α' ΟΡΟΦΟΣ

ΟΨΗ: ΑΝΑΤΟΛΙΚΗ										
	L(m)	α [°]	Συντελεστής Σκίασης Ορίζοντα		β [°]	Οριζόντιοι Πρόβολοι		γ [°]	Πλευρικές Προεξοχές	
			$F_{hor,h}$	$F_{hor,c}$		$F_{ov,h}$	$F_{ov,c}$		$F_{fin,h}$	$F_{fin,c}$
T1	10	33,42	0,63	0,75	-	1,00	1,00	-	1,00	1,00
ΠΑ1 (11)	10	25,17	0,72	0,81	21,04	0,85	0,87	-	1,00	1,00
ΠΑ2 (1)	10	22,3	0,76	0,83	15,52	0,91	0,90	-	1,00	1,00

Α' ΟΡΟΦΟΣ

ΟΨΗ: ΝΟΤΙΑ										
	L(m)	α [°]	Συντελεστής Σκίασης Ορίζοντα		β [°]	Οριζόντιοι Πρόβολοι		γ [°]	Πλευρικές Προεξοχές	
			$F_{hor,h}$	$F_{hor,c}$		$F_{ov,h}$	$F_{ov,c}$		$F_{fin,h}$	$F_{fin,c}$
T1	11,5	25,96	0,71	0,96	-	1,00	1,00	-	1,00	1,00
T2	22,2	14,16	0,92	0,99	-	1,00	1,00	44,8	0,87	0,88
ΠΑ1 (1)	11,5	17,84	0,88	0,98	21,04	0,87	0,81	-	1,00	1,00
ΠΑ2 (6)	22,2	9,46	0,96	1,00	21,04	0,87	0,81	*	*	*

Α' ΟΡΟΦΟΣ

ΟΨΗ: ΔΥΤΙΚΗ										
	L(m)	α [°]	Συντελεστής Σκίασης Ορίζοντα		β [°]	Οριζόντιοι Πρόβολοι		γ [°]	Πλευρικές Προεξοχές	
			$F_{hor,h}$	$F_{hor,c}$		$F_{ov,h}$	$F_{ov,c}$		$F_{fin,h}$	$F_{fin,c}$
T1	12	40,64	0,56	0,68	-	1,00	1,00	-	1,00	1,00
T3	34,2	16,76	0,84	0,88	-	1,00	1,00	76,3	0,62	0,82
T3	34,2	16,76	0,84	0,88	37	0,77	0,71	63,2	0,69	0,86
ΠΑ1 (1)	12	42,05	0,56	0,67	15,52	0,90	0,89	-	1,00	1,00
ΠΑ2 (1)	34,2	17,22	0,83	0,87	53,13	0,63	0,57	76,3	0,62	0,82
ΠΑ2 (1)	26,5	17,98	0,82	0,86	32,01	0,82	0,78	87,2	0,62	0,82

ΠΑ3 (4)	34,2	16,45	0,85	0,87	21,04	0,87	0,85	*	*	*
------------	------	-------	------	------	-------	------	------	---	---	---

Β' Όροφος:

Β' ΟΡΟΦΟΣ

	ΟΨΗ: ΒΟΡΕΙΑ									
	L(m)	α[°]	Συντελεστής Σκίασης Ορίζοντα		β [°]	Οριζόντιοι Πρόβολοι		γ [°]	Πλευρικές Προεξοχές	
			F _{hor,h}	F _{hor,c}		F _{ov,h}	F _{ov,c}		F _{fin,h}	F _{fin,c}
T1	10	44,71	1,00	0,88	-	1,00	1,00	-	1,00	1,00
T3	31,9	17,24	1,00	0,91	-	1,00	1,00	52,7	1,00	0,94
ΠΑ1 (3)	31,9	11,86	1,00	0,93	21,04	0,85	0,87	*	*	*
ΠΑ2 (1)	31,9	11,86	1,00	0,93	74,22	0,37	0,34			
ΠΑ3 (1)	31,9	11,86	1,00	0,93	78	0,35	0,32			

Β' ΟΡΟΦΟΣ

	ΟΨΗ: ΑΝΑΤΟΛΙΚΗ									
	L(m)	α[°]	Συντελεστής Σκίασης Ορίζοντα		β [°]	Οριζόντιοι Πρόβολοι		γ [°]	Πλευρικές Προεξοχές	
			F _{hor,h}	F _{hor,c}		F _{ov,h}	F _{ov,c}		F _{fin,h}	F _{fin,c}
T1	10	26,10	0,70	0,81	-	1,00	1,00	-	1,00	1,00
ΠΑ1 (11)	10	9,65	0,93	0,94	21,04	0,85	0,87	-	1,00	1,00
ΠΑ2 (1)	10	5,14	0,97	0,97	15,52	0,90	0,89	-	1,00	1,00

Β' ΟΡΟΦΟΣ

ΟΨΗ: ΝΟΤΙΑ										
	L(m)	α[]	Συντελεστής Σκίασης Ορίζοντα		β []	Οριζόντιοι Πρόβολοι		γ []	Πλευρικές Προεξοχές	
			F _{hor,h}	F _{hor, c}		F _{ov, h}	F _{ov, c}		F _{fin,h}	F _{fin,c}
T1	11,5	18,73	0,87	0,98	-	1,00	1,00	-	1,00	1,00
T2	22,2	10,05	0,96	1,00	-	1,00	1,00	44,8	0,87	0,88
ΠΑ1 (1)	11,5	3,48	0,98	1,00	21,04	0,87	0,81	-	1,00	1,00
ΠΑ2 (6)	22,2	1,81	1,00	1,00	21,04	0,87	0,81	*	*	*

Β' ΟΡΟΦΟΣ

ΟΨΗ: ΔΥΤΙΚΗ										
	L(m)	α[]	Συντελεστής Σκίασης Ορίζοντα		β []	Οριζόντιοι Πρόβολοι		γ []	Πλευρικές Προεξοχές	
			F _{hor,h}	F _{hor, c}		F _{ov, h}	F _{ov, c}		F _{fin,h}	F _{fin,c}
T1	12	29,90	0,54	0,78	-	1,00	1,00	-	1,00	1,00
T3	34,2	11,41	0,93	0,94	-	1,00	1,00	76,3	0,62	0,82
T3	34,2	11,41	0,93	0,94	24,27	0,85	0,83	63,2	0,69	0,86
ΠΑ1 (1)	12	13,59	0,93	0,94	15,52	0,90	0,89	-	1,00	1,00
ΠΑ2 (1)	34,2	4,85	0,96	0,97	61,56	0,57	0,50	76,3	0,62	0,82
ΠΑ3 (6)	34,2	4,85	0,96	0,97	21,04	0,87	0,85	*	*	*

4. Συστήματα

Στο σημείο αυτό θα εξετασθούν οι Η/Μ εγκαταστάσεις που συμμετέχουν στην κατανάλωση ενέργειας στο κτήριο και συγκεκριμένα:

- Θέρμανση
- Ψύξη
- Αερισμός-Εξαερισμός
- Ζ.Ν.Χ.
- Ηλιακοί συλλέκτες
- Φωτισμός
- Αυτοματισμός κτηρίου
- Φωτοβολταϊκά συστήματα

4.1 Συστήματα Ισογείου

Για τη θέρμανση του ισογείου θα χρησιμοποιηθεί ένας επιδαπέδιος λέβητας αερίου σε συνδυασμό με μία γεωθερμική αντλία θερμότητας, ενώ για την ψύξη ένας αερόψυκτος ψύκτης σε συνδυασμό με μία γεωθερμική αντλία θερμότητας. Ο αερισμός-εξαερισμός του κτηρίου θα γίνει με την χρήση ΚΚΜ, ενώ οι τερματικές μονάδες θα είναι FCU. Παράλληλα θα γίνουν υπολογισμοί για 5 κυκλοφορητές στο κτήριο.

4.1.1 Θέρμανση

ΛΕΒΗΤΑΣ:

Ισχύς Λέβητα = 60 kW

$$n_{sK\Theta} = \Sigma M\Theta\Delta (n_{sA\Theta} + 0.03)$$

- $\Sigma M\Theta\Delta = 1.11$ (φυσικό αέριο)
- $n_{sA\Theta} = 0.9$

Από τα παραπάνω προκύπτει ότι: $n_{sK\Theta} = 1.0323$

$Y = Y_{\text{περδιαστασιολόγηση}} = 60\text{kW}/23.9\text{kW} = 2.51$ (έστω 250%).

$$n_{\text{gen}} = n_{g1} * n_{g2} * n_{sK\Theta}$$

- $Y = 250\% \Rightarrow n_{g1} = 0.87$, προκύπτει από υπολογισμούς
- $n_{g2} = aY + b = 0 * 2.5 + 1 = 1$
- $n_{sK\Theta} = 1.0323$

Από τα παραπάνω προκύπτει ότι : $n_{\text{gen}} = 1.0323 * 0.87 * 1 = 0.89$

ΓΕΩΘΕΡΜΙΚΗ ΑΝΤΛΙΑ ΘΕΡΜΟΤΗΤΑΣ:

ΥΔΡΟΨΥΚΤΗ – ΓΕΩΘΕΡΜΙΚΗ ΑΝΤΛΙΑ ΝΕΡΟΥ-ΝΕΡΟΥ

5.2.2.1. Βαθμός απόδοσης αντλιών θερμότητας και ψυκτών

WWR MTD2		0011ms	0025ms	0031ms	0041ms	0025t	0031t	0041t	0061t	0071t	0091t	0101t	0121t
Power supply	W/pHHz	230/1/50	230/1/50	230/1/50	230/1/50	400/3/50	400/3/50	400/3/50	400/3/50	400/3/50	400/3/50	400/3/50	400/3/50
COOLING ONLY (GROSS VALUE)													
Cooling capacity	(1) kW	7.10	9.80	12.0	15.1	9.50	12.0	15.7	21.3	26.9	30.7	34.8	44.3
Total power input	(1) kW	1.80	2.00	2.50	3.30	1.80	2.50	3.30	4.10	5.20	6.00	7.00	8.80
EER	(1) kW/kW	4.44	4.90	4.80	4.58	5.28	4.80	4.76	5.20	5.17	5.12	4.97	5.09
ESEER	(1) kW/kW	3.81	4.21	3.94	3.95	4.54	4.18	4.19	4.33	4.38	4.44	4.31	4.30
COOLING ONLY (EN14511 VALUE)													
Cooling capacity	(1)(2) kW	7.12	9.83	12.0	15.2	9.53	12.0	15.8	21.4	27.0	30.9	35.0	45.1
EER	(1)(2) kW/kW	4.04	4.51	4.20	4.11	4.83	4.20	4.26	4.72	4.56	4.60	4.44	4.63
ESEER	(1)(2) kW/kW	3.43	3.85	3.42	3.53	4.15	3.61	3.74	3.97	3.87	4.00	3.83	3.92
Classe EUROVENT		F	F	G	F	E	F	F	E	E	E	E	E
HEATING ONLY (GROSS VALUE)													
Total heating capacity	(3) kW	7.70	10.2	12.8	16.2	10.4	12.8	16.8	22.4	27.8	32.3	37.0	46.2
Total power input	(3) kW	1.40	1.80	2.30	2.90	1.70	2.20	2.90	3.70	4.70	5.20	6.10	7.70
COP	(3) kW/kW	5.50	5.67	5.57	5.59	6.12	5.82	5.79	6.05	5.91	6.21	6.07	6.00
HEATING ONLY (EN14511 VALUE)													
Total heating capacity	(3)(2) kW	7.68	10.2	12.8	16.1	10.4	12.8	16.7	22.3	27.7	32.2	36.8	45.9
COP	(3)(2) kW/kW	4.83	5.03	4.65	4.78	5.36	4.82	4.91	5.23	4.94	5.27	5.08	5.17
Classe EUROVENT		D	D	E	D	C	D	C	B	C	C	C	C
SEASONAL EFFICIENCY IN HEATING (EN14825 VALUE)													
PDesign	(4) kW	8.74	11.5	14.4	18.4	11.8	14.5	19.0	25.4	31.4	36.6	41.8	52.2
SCOP	(4)	4.69	4.85	4.42	4.49	5.20	4.57	4.66	4.87	4.63	4.91	4.74	4.75
Performance req. (Reg. 811/2013 UE)	(4) %	190	198	160	172	200	175	170	187	177	198	182	182
Seasonal efficiency class (Regulation 811/2013)	(4)	A++	A++	A++	A++	A++	A++	A++	A++	A++	A++	A++	A++
Notes													

Η επιλογή της γεωθερμικής αντλίας θερμότητας έγινε από τον παραπάνω κατάλογο. Τα ονομαστικά χαρακτηριστικά της είναι τα εξής:

- Ψυκτική ισχύς = 44.8 kW
- Θερμική ισχύς = 46.2 kW
- SEER = 4.3
- COP = 6

ΔΙΚΤΥΑ ΔΙΑΝΟΜΗΣ:

$$\text{Βαθμός απόδοσης} = 1 - 0.03 = 0.97$$

ΤΕΡΜΑΤΙΚΕΣ ΜΟΝΑΔΕΣ:

$$N_{em,t} = n_{em}/(f_{rad} * f_{im} * f_{ydr})$$

- $f_{rad} = 1.00$
- $f_{im} = 0.97$
- $f_{ydr} = 1.00$
- $n_{em} = 0.95$

Από τα παραπάνω προκύπτει ότι: $N_{em,t} = 0.979$

ΒΟΗΘΗΤΙΚΕΣ ΜΟΝΑΔΕΣ: Υπολογισμός κυκλοφορητών στο φύλλο Excel.

4.1.2 Ψύξη

ΨΥΚΤΗΣ:

5.2.2.1. Βαθμός απόδοσης αντλιών θερμότητας και ψυκτών

Heating & Cooling			EWYQ-CWN/CWP		016	021	025	032	040	050	064
Cooling capacity	Nom.		kW		16.8(1)/17.0(2)	21.0(1)/21.2(2)	25.3(1)/25.5(2)	31.6(1)/31.8(2)	42.1(1)/42.3(2)	50.5(1)/50.7(2)	63.2(1)/63.3(2)
	Max.		kW		20.0(1)/20.2(2)	25.0(1)/25.2(2)	30.1(1)/30.3(2)	37.6(1)/37.8(2)	50.1(1)/50.3(2)	60.1(1)/60.3(2)	75.2(1)/75.3(2)
Heating capacity	Nom.		kW		16.8(1)/16.6(2)	21.0(1)/20.8(2)	25.1(1)/24.9(2)	31.4(1)/31.2(2)	41.9(1)/41.7(2)	50.3(1)/50.1(2)	62.9(1)/62.7(2)
Power input	Cooling	Nom.	kW		5.93(1)/5.81(2)	7.61(1)/7.47(2)	9.60(1)/9.45(2)	12.9(1)/12.7(2)	15.1	19.2(1)/19.0(2)	25.7(1)/25.5(2)
	Heating	Nom.	kW		5.60(1)/5.49(2)	6.89(1)/6.76(2)	8.74(1)/8.58(2)	10.8(1)/10.6(2)	13.7	17.5(1)/17.4(2)	21.6(1)/21.4(2)
Capacity control	Method				Inverter controlled						
	Minimum capacity			%	25						
EER					2.84(1)/2.93(2)	2.77(1)/2.84(2)	2.63(1)/2.70(2)	2.45(1)/2.50(2)	2.29(1)/2.80(2)	2.63(1)/2.67(2)	2.46(1)/2.48(2)
COP					3.00(1)/3.02(2)	3.05(1)/3.07(2)	2.87(1)/2.91(2)	2.91(1)/2.93(2)	3.06(1)/3.03(2)	2.87(1)/2.88(2)	2.91(1)/2.93(2)
ESEER					4.37(1)/4.85(2)	4.26(1)/4.70(2)	4.17(1)/4.57(2)	3.87(1)/4.10(2)	4.28(1)/4.40(2)	4.18(1)/4.36(2)	3.87(1)/4.05(2)
Space heating	Average climate water outlet 35°C	General	η _s (Seasonal space heating efficiency)	%	147(1)/144(2)	148(1)/154(2)	138(1)/139(2)	135(1)/138(2)	149	139	135(1)/138(2)
			SCOP		3.75(1)/3.68(2)	3.78(1)/3.93(2)	3.53(1)/3.55(2)	3.45(1)/3.53(2)	3.80	3.55	3.45(1)/3.53(2)
			Seasonal space heating eff. class		A+	A++			A+		

(1) Underfloor program: cooling Ta 35°C - LWE 18°C (Dt: 5°C); heating Ta DB/WB 7°C/6°C - LWC 35°C (Dt: 5°C) (2) Fan coil program: cooling Ta 35°C - LWE 7°C (Dt: 5°C); heating Ta DB/WB 7°C/6°C - LWC 45°C (Dt: 5°C)

Η επιλογή του αερόψυκτου ψύκτη έγινε από τον παραπάνω κατάλογο. Τα ονομαστικά χαρακτηριστικά του ψύκτη είναι:

- Ψυκτική ισχύς = 42.1 kW
- EER = 2.79
- SEER = 4.28

Σύμφωνα με τη TOTE 20701-1/2017 πρέπει να γίνει υπολογισμός του συντελεστή SEER.

$$SEER = EER * a * Y^b = 3.66$$

- EER = 2.79
- a = 1.313
- b = -0.997
- Y = 1 (ψυκτική ισχύς < 100 kW).

ΓΕΩΘΕΡΜΙΚΗ ΑΝΤΛΙΑ ΘΕΡΜΟΤΗΤΑΣ:

ΥΔΡΟΨΥΚΤΗ – ΓΕΩΘΕΡΜΙΚΗ ΑΝΤΛΙΑ ΝΕΡΟΥ-ΝΕΡΟΥ

5.2.2.1. Βαθμός απόδοσης αντλιών θερμότητας και ψυκτών

WWR MTD2		0011ms	0025ms	0031ms	0041ms	0025t	0031t	0041t	0061t	0071t	0091t	0101t	0121t
Power supply	W/pH ₂	230/1/50	230/1/50	230/1/50	230/1/50	400/3/50	400/3/50	400/3/50	400/3/50	400/3/50	400/3/50	400/3/50	400/3/50
COOLING ONLY (GROSS VALUE)													
Cooling capacity	(1) kW	7.10	9.80	12.0	15.1	9.50	12.0	15.7	21.3	26.9	30.7	34.8	44.3
Total power input	(1) kW	1.80	2.00	2.50	3.30	1.80	2.50	3.30	4.10	5.20	6.00	7.00	8.80
EER	(1) kW/kW	4.44	4.90	4.80	4.58	5.28	4.80	4.76	5.20	5.12	5.12	4.97	5.09
ESEER	(1) kW/kW	3.81	4.21	3.94	3.95	4.54	4.18	4.19	4.33	4.38	4.44	4.31	4.30
COOLING ONLY (EN14511 VALUE)													
Cooling capacity	(1)(2) kW	7.12	9.83	12.0	15.2	9.53	12.0	15.8	21.4	27.0	30.9	35.0	45.1
EER	(1)(2) kW/kW	4.04	4.51	4.20	4.11	4.83	4.20	4.26	4.72	4.56	4.60	4.44	4.63
ESEER	(1)(2) kW/kW	3.43	3.85	3.42	3.53	4.15	3.61	3.74	3.97	3.87	4.00	3.83	3.92
Classe EUROVENT		F	F	G	F	E	F	F	E	E	E	E	E
HEATING ONLY (GROSS VALUE)													
Total heating capacity	(3) kW	7.70	10.2	12.8	16.2	10.4	12.8	16.8	22.4	27.8	32.3	37.0	46.2
Total power input	(3) kW	1.40	1.80	2.30	2.90	1.70	2.20	2.90	3.70	4.70	5.20	6.10	7.70
COP	(3) kW/kW	5.50	5.67	5.57	5.59	6.12	5.82	5.79	6.05	5.91	6.21	6.07	6.00
HEATING ONLY (EN14511 VALUE)													
Total heating capacity	(3)(2) kW	7.68	10.2	12.8	16.1	10.4	12.8	16.7	22.3	27.7	32.2	36.8	45.9
COP	(3)(2) kW/kW	4.83	5.03	4.65	4.78	5.36	4.82	4.91	5.23	4.94	5.27	5.08	5.17
Classe EUROVENT		D	D	E	D	C	D	C	B	C	C	C	C
SEASONAL EFFICIENCY IN HEATING (EN14825 VALUE)													
PDesign	(4) kW	8.74	11.5	14.4	18.4	11.8	14.5	19.0	25.4	31.4	36.6	41.8	52.2
SCOP	(4)	4.69	4.85	4.42	4.49	5.20	4.57	4.66	4.87	4.63	4.91	4.74	4.75
Performance class (Reg. 811/2013 UE)	(4) %	190	198	160	172	200	175	170	187	177	190	182	182
Seasonal efficiency class (Regulation 811/2013)	(4)	A++	A++	A++	A++	A++	A++	A++	A++	A++	A++	A++	A++

Notes

Η επιλογή της γεωθερμικής αντλίας θερμότητας έγινε από τον παραπάνω κατάλογο. Τα ονομαστικά χαρακτηριστικά της είναι τα εξής:

- Ψυκτική ισχύς = 44.8 kW
- Θερμική ισχύς = 46.2 kW
- SEER = 4.3
- COP = 6

ΔΙΚΤΥΑ ΔΙΑΝΟΜΗΣ:

$$\text{Βαθμός απόδοσης} = 1 - 0.015 = 0.985$$

ΤΕΡΜΑΤΙΚΕΣ ΜΟΝΑΔΕΣ:

$$N_{em,t} = n_{em} / (f_{im} * f_{ydr})$$

- $f_{im} = 0.97$
- $f_{ydr} = 1.00$
- $n_{em} = 0.93$

Από τα παραπάνω προκύπτει ότι: $N_{em,t} = 0.958$

ΒΟΗΘΗΤΙΚΕΣ ΜΟΝΑΔΕΣ:

Υπολογισμός κυκλοφορητών – FCU στο φύλλο Excel.

4.1.3 Μηχανικός Αερισμός – Εξαερισμός

Από την παράγραφο 5.6 της TOTEE 20701-1/2017 η ειδική ηλεκτρική ισχύς του ανεμιστήρα είναι 2.5 kW. Η ΚΚΜ παρέχει 100% νωπού προκλιματισμένου αέρα, με δυνατότητα ανάκτησης, σύστημα ύγρανσης και ειδικά φίλτρα για την βέλτιστη ποιότητα αέρα. Η συνολική παροχή είναι ίση με 8272.2 m³/h, όπως φαίνεται και στο φύλλο Excel.

4.1.4 Φωτισμός

<i>Χώρος</i>	<i>Ισχύς(W)</i>	<i>Ζώνη(lx)</i>	<i>Αυτόματη Λειτουργία</i>
<i>XI.1</i>	<i>520.2</i>	<i>500</i>	<i>NAI</i>
<i>XI.4</i>	<i>460.8</i>	<i>300</i>	<i>NAI</i>
<i>XI.5</i>	<i>426.6</i>	<i>300</i>	<i>NAI</i>
<i>XI.6</i>	<i>426.6</i>	<i>300</i>	<i>-</i>
<i>XI.7</i>	<i>115.2</i>	<i>500</i>	<i>NAI</i>
<i>XI.11</i>	<i>58</i>	<i>200</i>	<i>NAI</i>
<i>XI.12</i>	<i>173.4</i>	<i>200</i>	<i>NAI</i>
<i>XI.13</i>	<i>1387.2</i>	<i>300</i>	<i>NAI</i>
<i>XI.10</i>	<i>71.1</i>	<i>100</i>	<i>-</i>
<i>XI.14</i>	<i>289</i>	<i>100</i>	<i>NAI</i>
<i>XI.15</i>	<i>231.2</i>	<i>100</i>	<i>-</i>
<i>XI.16</i>	<i>260</i>	<i>100</i>	<i>NAI</i>
<i>XI.17</i>	<i>95</i>	<i>100</i>	<i>NAI</i>
<i>XI.18</i>	<i>95</i>	<i>100</i>	<i>NAI</i>
<i>ΣΥΝΟΛΟ</i>	<i>4609.3</i>		

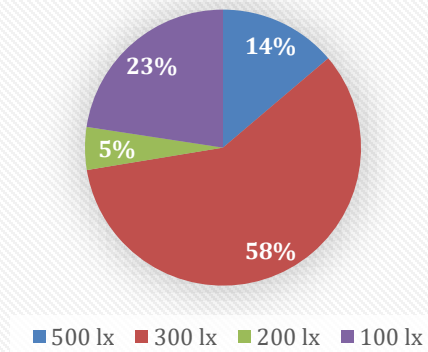
Εγκατεστημένη ισχύς = 4609.3 W

Εγκατεστημένη ισχύς που ελέγχεται μόνο με αισθητήρες παρουσίας = 2014.2 W

Εγκατεστημένη ισχύς που ελέγχεται με αισθητήρες παρουσίας και αισθητήρια φωτεινότητας = 1907.4 W

Περιοχή ΦΦ = 50%

Ζώνη Τεχνητού Φωτισμού



4.1.5 Αυτοματισμός Εγκατάστασης

Η κατηγορία διατάξεων ελέγχου και αυτοματισμών της καρτέλας Ζώνη εξαρτάται από το είδος χρήσης της ζώνης. Ο έλεγχος γίνεται βάσει του πίνακα 5.5 της TOTEE 20701-1/2017.

Έλεγχος τερματικών μονάδων – FCU: Κατηγορία Αυτοματισμού Α

Έλεγχος μηχανικού αερισμού – ΚΚΜ: Κατηγορία Αυτοματισμού Α

4.2 Συστήματα Α' Ορόφου

Η θέρμανση και η ψύξη του Α ορόφου γίνεται με χρήση αντλίας θερμότητας πολυδιαιρούμενου τύπου VRV, ενώ για τον αερισμό και τον εξαερισμό χρησιμοποιούνται τοπικοί εναλλάκτες. Οι τερματικές μονάδες είναι τύπου εσωτερικές μονάδες VRV.

4.2.1 Θέρμανση

ΑΝΤΛΙΑ ΘΕΡΜΟΤΗΤΑΣ ΑΕΡΟΨΥΚΤΗ ΑΜΕΣΟΥ ΕΚΤΟΝΩΣΕΩΣ ΑΕΡΑ-ΑΕΡΑ:

ΑΝΤΛΙΑ ΘΕΡΜΟΤΗΤΑΣ ΠΟΛΥΔΙΑΙΡΟΥΜΕΝΟΥ ΤΥΠΟΥ VRV ΤΥΠΟΥ ΑΕΡΑ-ΑΕΡΑ (ΑΜΕΣΟΥ ΕΚΤΟΝΩΣΕΩΣ)

5.1.2.2. Βαθμός απόδοσης αντλιών θερμότητας

Outdoor unit	REYQ	8T	10T	12T	14T	16T	18T	20T
Capacity range	HP	8	10	12	14	16	18	20
Cooling capacity	Prated,c	kW	22.4	28.0	33.5	40.0	45.0	50.4
Heating capacity	Prated,h	kW	13.7	16.0	18.4	20.6	23.2	27.9
	Max. 6°CWB	kW	25.0	31.5	37.5	45.0	50.0	56.5
ηs,c	%	212.4	222.0	216.9	226.6	216.8	216.2	210.3
ηs,h	%	146.8	152.3	155.5	138.4	138.9	149.1	148.1
SEER		5.4	5.6	5.5	5.7		5.5	5.3
SCOP		3.7	3.9	4.0		3.5		3.8

Outdoor unit system	REYQ	10T	13T	16T	18T	20T	22T	24T	26T	28T	30T	32T
System		REMQ5T			REYQ8T		REYQ10T	REYQ8T		REYQ12T		REYQ16T
	Outdoor unit module 1											
	Outdoor unit module 2	REMQ5T	REYQ8T	REYQ10T	REYQ12T	REYQ16T	REYQ14T	REYQ16T	REYQ18T	REYQ16T		
Capacity range	HP	10	13	16	18	20	22	24	26	28	30	32
Cooling capacity	Prated,c	kW	28.0	36.4	44.8	50.4	55.9	61.5	67.4	73.5	78.5	83.9
Heating capacity	Prated,h	kW	16.0	21.7	23.2	27.9	31.0	34.4	36.9	37.1	39.7	44.4
	Max. 6°CWB	kW	32.0	41.0	50.0	56.5	62.5	69.0	75.0	82.5	87.5	94.0
ηs,c	%	224.2	229.3	223.9	222.9	215.0	213.5	215.3	222.0	216.8	216.2	216.8
ηs,h	%	156.4	148.9	147.4	150.8	152.3	155.7	147.5	151.0	150.9	152.9	138.9
SEER		5.7	5.8	5.7	5.6	5.5	5.4	5.5	5.6		5.5	
SCOP		4.0		3.8		3.9	4.0		3.8		3.9	3.5

Η επιλογή της αντλίας θερμότητας πολυδιαιρούμενου τύπου VRV έγινε από τον παραπάνω κατάλογο. Τα ονομαστικά χαρακτηριστικά της είναι:

- Ψυκτική ισχύς = 44.8 kW
- Θερμική ισχύς = 23.2 kW
- SEER = 5.7
- SCOP = 3.8

Θα χρησιμοποιηθούν δύο μονάδες για λόγους εφεδρείας.

ΤΕΡΜΑΤΙΚΕΣ ΜΟΝΑΔΕΣ:

$$N_{em,t} = n_{em}/(f_{rad} \cdot f_{im} \cdot f_{ydr})$$

- $f_{rad} = 1.00$
- $f_{im} = 0.97$
- $f_{ydr} = 1.00$
- $n_{em} = 0.95$

Από τα παραπάνω προκύπτει ότι: $N_{em,t} = 0.979$

ΒΟΗΘΗΤΙΚΕΣ ΜΟΝΑΔΕΣ:

Ανεμιστήρες τύπου FCU με παροχή και ισχύ, υπολογισμένοι στο φύλλο Excel.

ΔΙΚΤΥΑ ΔΙΑΝΟΜΗΣ:

Βαθμός απόδοσης = $1 - 0.035 = 0.965$

4.2.2. Ψύξη

ΑΝΤΛΙΑ ΘΕΡΜΟΤΗΤΑΣ ΑΕΡΟΨΥΚΤΗ ΑΜΕΣΟΥ ΕΚΤΟΝΩΣΕΩΣ ΑΕΡΑ-ΑΕΡΑ:

ΑΝΤΛΙΑ ΘΕΡΜΟΤΗΤΑΣ ΠΟΛΥΔΙΑΙΡΟΥΜΕΝΟΥ ΤΥΠΟΥ VRV ΤΥΠΟΥ ΑΕΡΑ-ΑΕΡΑ (ΑΜΕΣΟΥ ΕΚΤΟΝΩΣΕΩΣ)

5.1.2.2. Βαθμός απόδοσης αντλιών θερμότητας

Outdoor unit		REYQ	8T	10T	12T	14T	16T	18T	20T
Capacity range		HP	8	10	12	14	16	18	20
Cooling capacity	Prated,c	kW	22.4	28.0	33.5	40.0	45.0	50.4	52.0
Heating capacity	Prated,h	kW	13.7	16.0	18.4	20.6	23.2	27.9	31.0
	Max. 6°CWB	kW	25.0	31.5	37.5	45.0	50.0	56.5	63.0
ηs,c		%	212.4	222.0	216.9	226.6	216.8	216.2	210.3
ηs,h		%	146.8	152.3	155.5	138.4	138.9	149.1	148.1
SEER			5.4	5.6	5.5	5.7	5.5		5.3
SCOP			3.7	3.9	4.0	3.5		3.8	

Outdoor unit system		REYQ	10T	13T	16T	18T	20T	22T	24T	26T	28T	30T	32T
System	Outdoor unit module 1		REMQST		REYQ8T		REYQ10T		REYQ8T		REYQ12T		REYQ16T
	Outdoor unit module 2		REMQST		REYQ8T		REYQ10T		REYQ12T		REYQ16T		REYQ14T
Capacity range		HP	10	13	16	18	20	22	24	26	28	30	32
Cooling capacity	Prated,c	kW	28.0	36.4	44.8	50.4	55.9	61.5	67.4	73.5	78.5	83.9	90.0
Heating capacity	Prated,h	kW	16.0	21.7	23.2	27.9	31.0	34.4	36.9	37.1	39.7	44.4	46.4
	Max. 6°CWB	kW	32.0	41.0	50.0	56.5	62.5	69.0	75.0	82.5	87.5	94.0	100.0
ηs,c		%	224.2	229.3	223.9	222.9	215.0	213.5	215.3	222.0	216.8	216.2	216.8
ηs,h		%	156.4	148.9	147.4	150.8	152.3	155.7	147.5	151.0	150.9	152.9	138.9
SEER			5.7	5.8	5.7	5.6	5.5	5.4	5.5	5.6	5.5		5.5
SCOP			4.0		3.8		3.9	4.0		3.8		3.9	3.5

Η επιλογή της αντλίας θερμότητας πολυδιαιρούμενου τύπου VRV έγινε από τον παραπάνω κατάλογο. Τα ονομαστικά χαρακτηριστικά της είναι:

- Ψυκτική ισχύς = 44.8 kW
- Θερμική ισχύς = 23.2 kW
- SEER = 5.7
- SCOP = 3.8

Θα χρησιμοποιηθούν δύο μονάδες για λόγους εφεδρείας.

ΤΕΡΜΑΤΙΚΕΣ ΜΟΝΑΔΕΣ:

$$N_{em,t} = n_{em}/(f_{im} * f_{ydr})$$

- $f_{im} = 0.97$
- $f_{ydr} = 1.00$
- $n_{em} = 0.93$

Από τα παραπάνω προκύπτει ότι: $N_{em,t} = 0.958$

ΒΟΗΘΗΤΙΚΕΣ ΜΟΝΑΔΕΣ:

Ανεμιστήρες τύπου FCU με παροχή και ισχύ, υπολογισμένοι στο φύλλο Excel.

ΔΙΚΤΥΑ ΔΙΑΝΟΜΗΣ:

$$\text{Βαθμός απόδοσης} = 1 - 0.015 = 0.985$$

4.2.3 Μηχανικός Αερισμός - Εξαερισμός

Για τον αερισμό – εξαερισμό του Α' ορόφου χρησιμοποιούνται τοπικοί εναλλάκτες αέρα-αέρα με δυνατότητα ανάκτησης 50% του φορτίου αερισμού. Οι υπολογισμοί παροχής και ηλεκτρικής ισχύος φαίνονται αναλυτικά στο φύλλο Excel.

4.2.4 Φωτισμός

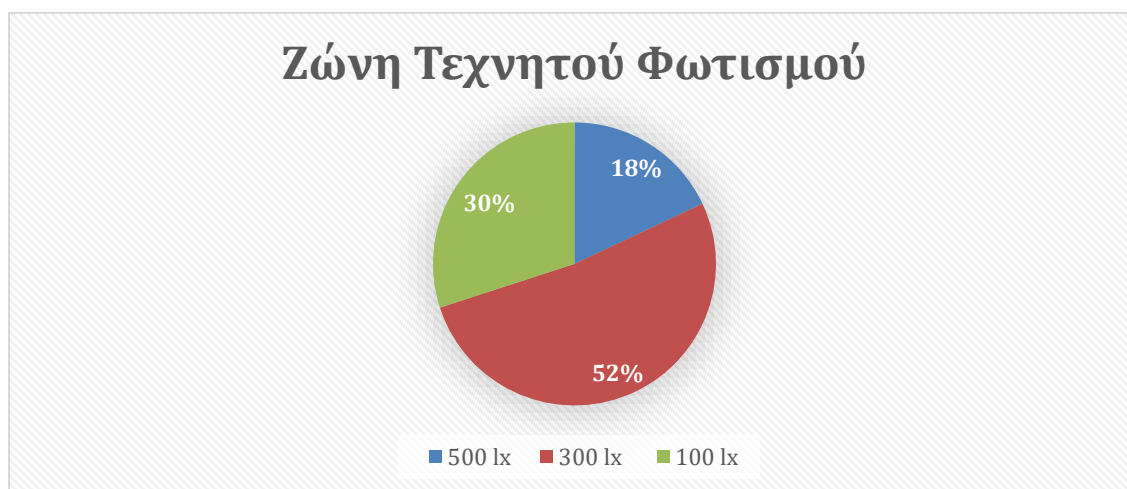
Χώρος	Ισχύς(W)	Ζώνη(lx)	Αυτόματη Λειτουργία
XA.1	426.6	300	NAI
XA.2	142.2	500	NAI
XA.3	57.8	500	NAI
XA.4	480	500	NAI
XA.5	284.4	300	NAI
XA.6	462	300	NAI
XA.7	426.6	300	NAI
XA.8	462.4	300	NAI
XA.9	284.4	300	NAI
XA.10	289	100	NAI
XA.11	231.2	100	NAI
XA.12	289	100	NAI
XA.13	231.2	100	NAI
XA.16	115.6	500	-
XA.17	115.6	500	-
XA.18	259.2	100	-
ΣΥΝΟΛΟ	4521.2		

Εγκατεστημένη ισχύς = 4521.2 W

Εγκατεστημένη ισχύς που ελέγχεται μόνο με αισθητήρες παρουσίας = 2035.8 W

Εγκατεστημένη ισχύς που ελέγχεται με αισθητήρες παρουσίας και αισθητήρια φωτεινότητας = 2110.6 W

Περιοχή ΦΦ = 50%



4.2.5 Αυτοματισμός Εγκατάστασης

Η κατηγορία διατάξεων ελέγχου και αυτοματισμών της καρτέλας Ζώνη εξαρτάται από το είδος χρήσης της ζώνης. Ο έλεγχος γίνεται βάσει του πίνακα 5.5 της TOTEE 20701-1/2017.

Έλεγχος τερματικών μονάδων – FCU: Κατηγορία Αυτοματισμού B

Έλεγχος μηχανικού αερισμού – Εναλλάκτες αέρα-αέρα: Κατηγορία Αυτοματισμού B

4.3 Συστήματα Β' Ορόφου

Η θέρμανση και η ψύξη του Β ορόφου γίνεται με χρήση αντλίας θερμότητας πολυδιαιρούμενου τύπου VRV, ενώ για τον αερισμό και τον εξαερισμό χρησιμοποιούνται τοπικοί εναλλάκτες. Οι τερματικές μονάδες είναι τύπου εσωτερικές μονάδες VRV.

4.3.1 Θέρμανση

ΑΝΤΛΙΑ ΘΕΡΜΟΤΗΤΑΣ ΑΕΡΟΨΥΚΤΗ ΑΜΕΣΟΥ ΕΚΤΟΝΩΣΕΩΣ ΑΕΡΑ-ΑΕΡΑ:

ΑΝΤΛΙΑ ΘΕΡΜΟΤΗΤΑΣ ΠΟΛΥΔΙΑΙΡΟΥΜΕΝΟΥ ΤΥΠΟΥ VRV ΤΥΠΟΥ ΑΕΡΑ-ΑΕΡΑ (ΑΜΕΣΟΥ ΕΚΤΟΝΩΣΕΩΣ)

5.1.2.2. Βαθμός απόδοσης αντλιών θερμότητας

Outdoor unit		REYQ	8T	10T	12T	14T	16T	18T	20T
Capacity range		HP	8	10	12	14	16	18	20
Cooling capacity	Prated,c	kW	22.4	28.0	33.5	40.0	45.0	50.4	52.0
Heating capacity	Prated,h	kW	13.7	16.0	18.4	20.6	23.2	27.9	31.0
	Max. 6°CWB	kW	25.0	31.5	37.5	45.0	50.0	56.5	63.0
ηs,c		%	212.4	222.0	216.9	226.6	216.8	216.2	210.3
ηs,h		%	146.8	152.3	155.5	138.4	138.9	149.1	148.1
SEER			5.4	5.6	5.5	5.7	5.5		5.3
SCOP			3.7	3.9	4.0		3.5		3.8

Outdoor unit system		REYQ	10T	13T	16T	18T	20T	22T	24T	26T	28T	30T	32T
System	Outdoor unit module 1		REMQ5T		REYQ8T		REYQ10T		REYQ12T		REYQ14T		REYQ16T
	Outdoor unit module 2		REMQ5T	REYQ8T	REYQ10T	REYQ12T	REYQ16T	REYQ14T	REYQ16T	REYQ18T	REYQ16T	REYQ16T	REYQ16T
Capacity range		HP	10	13	16	18	20	22	24	26	28	30	32
Cooling capacity	Prated,c	kW	28.0	36.4	44.8	50.4	55.9	61.5	67.4	73.5	78.5	83.9	90.0
Heating capacity	Prated,h	kW	16.0	21.7	23.2	27.9	31.0	34.4	36.9	37.1	39.7	44.4	46.4
	Max. 6°CWB	kW	32.0	41.0	50.0	56.5	62.5	69.0	75.0	82.5	87.5	94.0	100.0
ηs,c		%	224.2	229.3	223.9	222.9	215.0	213.5	215.3	222.0	216.8	216.2	216.8
ηs,h		%	156.4	148.9	147.4	150.8	152.3	155.7	147.5	151.0	150.9	152.9	138.9
SEER			5.7	5.8	5.7	5.6	5.5	5.4	5.5	5.6		5.5	
SCOP			4.0		3.8		3.9	4.0		3.8		3.9	3.5

Η επιλογή της αντλίας θερμότητας πολυδιαιρούμενου τύπου VRV έγινε από τον παραπάνω κατάλογο. Τα ονομαστικά χαρακτηριστικά της είναι:

- Ψυκτική ισχύς = 44.8 kW
- Θερμική ισχύς = 23.2 kW
- SEER = 5.7
- SCOP = 3.8

Θα χρησιμοποιηθούν δύο μονάδες για λόγους εφεδρείας.

ΤΕΡΜΑΤΙΚΕΣ ΜΟΝΑΔΕΣ:

$$N_{em,t} = n_{em} / (f_{rad} * f_{im} * f_{ydr})$$

- $f_{rad} = 1.00$
- $f_{im} = 0.97$
- $f_{ydr} = 1.00$
- $n_{em} = 0.95$

Από τα παραπάνω προκύπτει ότι: $N_{em,t} = 0.979$

ΒΟΗΘΗΤΙΚΕΣ ΜΟΝΑΔΕΣ:

Ανεμιστήρες τύπου FCU με παροχή και ισχύ, υπολογισμένοι στο φύλλο Excel.

ΔΙΚΤΥΑ ΔΙΑΝΟΜΗΣ:

$$\text{Βαθμός απόδοσης} = 1 - 0.03 = 0.97$$

4.3.2. Ψύξη

ΑΝΤΛΙΑ ΘΕΡΜΟΤΗΤΑΣ ΑΕΡΟΨΥΚΤΗ ΑΜΕΣΟΥ ΕΚΤΟΝΩΣΕΩΣ ΑΕΡΑ-ΑΕΡΑ:

ΑΝΤΛΙΑ ΘΕΡΜΟΤΗΤΑΣ ΠΟΛΥΔΙΑΙΡΟΥΜΕΝΟΥ ΤΥΠΟΥ VRV ΤΥΠΟΥ ΑΕΡΑ-ΑΕΡΑ (ΑΜΕΣΟΥ ΕΚΤΟΝΩΣΕΩΣ)

5.1.2.2. Βαθμός απόδοσης αντλιών θερμότητας

Outdoor unit	REYQ	8T	10T	12T	14T	16T	18T	20T
Capacity range	HP	8	10	12	14	16	18	20
Cooling capacity	Prated,c	kW	22.4	28.0	33.5	40.0	45.0	52.0
Heating capacity	Prated,h	kW	13.7	16.0	18.4	20.6	23.2	27.9
	Max. 6°CWB	kW	25.0	31.5	37.5	45.0	50.0	63.0
ηs,c	%	212.4	222.0	216.9	226.6	216.8	216.2	210.3
ηs,h	%	146.8	152.3	155.5	138.4	138.9	149.1	148.1
SEER		5.4	5.6	5.5	5.7	5.5		5.3
SCOP		3.7	3.9	4.0		3.5		3.8

Outdoor unit system	REYQ	10T	13T	16T	18T	20T	22T	24T	26T	28T	30T	32T
System		REMQST		REYQ8T		REYQ10T		REYQ12T		REYQ16T		REYQ16T
Outdoor unit module 1		REMQST		REYQ8T		REYQ10T		REYQ12T		REYQ16T		REYQ16T
Outdoor unit module 2		REMQST		REYQ8T		REYQ10T		REYQ12T		REYQ16T		REYQ16T
Capacity range	HP	10	13	16	18	20	22	24	26	28	30	32
Cooling capacity	Prated,c	kW	28.0	36.4	44.8	50.4	55.9	61.5	67.4	73.5	78.5	83.9
Heating capacity	Prated,h	kW	16.0	21.7	23.2	27.9	31.0	34.4	36.9	37.1	39.7	44.4
	Max. 6°CWB	kW	32.0	41.0	50.0	56.5	62.5	69.0	75.0	82.5	87.5	94.0
ηs,c	%	224.2	229.3	223.9	222.9	215.0	213.5	215.3	222.0	216.8	216.2	216.8
ηs,h	%	156.4	148.9	147.4	150.8	152.3	155.7	147.5	151.0	150.9	152.9	138.9
SEER		5.7	5.8	5.7	5.6	5.5	5.4	5.5	5.6		5.5	
SCOP		4.0		3.8		3.9	4.0		3.8		3.9	3.5

Η επιλογή της αντλίας θερμότητας πολυδιαιρούμενου τύπου VRV έγινε από τον παραπάνω κατάλογο. Τα ονομαστικά χαρακτηριστικά της είναι:

- Ψυκτική ισχύς = 44.8 kW
- Θερμική ισχύς = 23.2 kW
- SEER = 5.7
- SCOP = 3.8

Θα χρησιμοποιηθούν δύο μονάδες για λόγους εφεδρείας.

Η ψυκτική ισχύς της εγκατάστασης είναι κάτω από 100 kW, επομένως δεν απαιτείται διόρθωση ως προς την υπερδιαστασιολόγηση.

ΤΕΡΜΑΤΙΚΕΣ ΜΟΝΑΔΕΣ:

$$N_{em,t} = n_{em} / (f_{im} * f_{ydr})$$

- $f_{im} = 0.97$
- $f_{ydr} = 1.00$
- $n_{em} = 0.93$

Από τα παραπάνω προκύπτει ότι: $N_{em,t} = 0.958$

ΒΟΗΘΗΤΙΚΕΣ ΜΟΝΑΔΕΣ:

Ανεμιστήρες τύπου FCU με παροχή και ισχύ, υπολογισμένοι στο φύλλο Excel.

ΔΙΚΤΥΑ ΔΙΑΝΟΜΗΣ:

Βαθμός απόδοσης = $1 - 0.015 = 0.985$

4.3.3 Μηχανικός Αερισμός - Εξαερισμός

Για τον αερισμό – εξαερισμό του Α' ορόφου χρησιμοποιούνται τοπικοί εναλλάκτες αέρα-αέρα με δυνατότητα ανάκτησης 70% του φορτίου αερισμού. Οι υπολογισμοί παροχής και ηλεκτρικής ισχύος φαίνονται αναλυτικά στο φύλλο Excel.

4.3.4 Φωτισμός

<i>Χώρος</i>	<i>Ισχύς(W)</i>	<i>Ζώνη(lx)</i>	<i>Αυτόματη Λειτουργία</i>
<i>XB.1</i>	<i>284.4</i>	<i>300</i>	<i>NAI</i>
<i>XB.2</i>	<i>426.6</i>	<i>300</i>	<i>NAI</i>
<i>XB.3</i>	<i>426.6</i>	<i>300</i>	<i>NAI</i>
<i>XB.4</i>	<i>462.4</i>	<i>300</i>	<i>NAI</i>
<i>XB.5</i>	<i>639.9</i>	<i>300</i>	<i>NAI</i>
<i>XB.6</i>	<i>462.4</i>	<i>300</i>	<i>NAI</i>
<i>XB.7</i>	<i>426.6</i>	<i>300</i>	<i>NAI</i>
<i>XB.8</i>	<i>460.8</i>	<i>300</i>	<i>NAI</i>
<i>XB.9</i>	<i>213.3</i>	<i>100</i>	<i>NAI</i>
<i>XB.10</i>	<i>142.2</i>	<i>100</i>	<i>NAI</i>
<i>XB.11</i>	<i>213.3</i>	<i>100</i>	<i>NAI</i>
<i>XB.12</i>	<i>142.2</i>	<i>100</i>	<i>NAI</i>
<i>XB.13</i>	<i>201.6</i>	<i>500</i>	<i>NAI</i>
<i>XB.16</i>	<i>115.6</i>	<i>100</i>	<i>-</i>
<i>XB.17</i>	<i>115.6</i>	<i>100</i>	<i>-</i>
<i>ΣΥΝΟΛΟ</i>	<i>4733.5</i>		

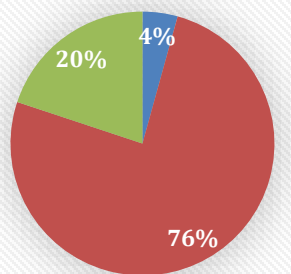
Εγκατεστημένη ισχύς = 4733.5 W

Εγκατεστημένη ισχύς που ελέγχεται μόνο με αισθητήρες παρουσίας = 1143.8 W

Εγκατεστημένη ισχύς που ελέγχεται με αισθητήρες φυσικού φωτισμού και παρουσίας = 3589.7 W

Περιοχή ΦΦ = 50%

Ζώνη Τεχνητού Φωτισμού



■ 500 lx ■ 300 lx ■ 100 lx

4.3.5 Αυτοματισμός Εγκατάστασης

Η κατηγορία διατάξεων ελέγχου και αυτοματισμών της καρτέλας Ζώνη εξαρτάται από το είδος χρήσης της ζώνης. Ο έλεγχος γίνεται βάσει του πίνακα 5.5 της TOTEE 20701-1/2017.

Έλεγχος τερματικών μονάδων – FCU: Κατηγορία Αυτοματισμού B

Έλεγχος μηχανικού αερισμού – Εναλλάκτες αέρα-αέρα: Κατηγορία Αυτοματισμού B

4.4 Z.N.X

Σύμφωνα με τον πίνακα 2.5 της TOTEE 20701-1/2017 δεν υπάρχει απαίτηση για Z.N.X σε κτήρια δευτεροβάθμιας εκπαίδευσης, οπότε δεν εξετάζεται τέτοια εγκατάσταση στο κτήριο. Το ίδιο ισχύει και για τους ηλιακούς συλλέκτες.

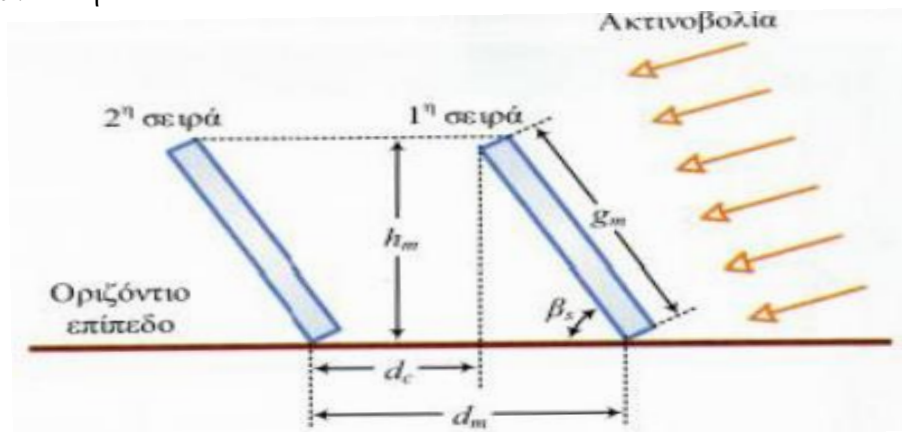
4.5 Φωτοβολταϊκά

Για την φωτοβολταϊκή εγκατάσταση του κτηρίου θα χρησιμοποιηθούν μονοκρυσταλλικά πάνελ, με κλίση συλλεκτών (β) 45 μοίρες τοποθετημένα στη στέγη. Ο προσανατολισμός τους θα είναι Νότιος (γ). Η επιφάνεια που θα έχουν θα είναι ίση με 60 τετραγωνικά μέτρα. Στη φωτοβολταϊκή διάταξη, η σκίαση των μονάδων πρέπει να αποφεύγεται. Γι' αυτό το λόγο, λαμβάνεται μέριμνα για τη σχετική θέση των μονάδων. Η ελάχιστη απόσταση που πρέπει να απέχουν τα φωτοβολταϊκά είναι

$$d_m = (d_c/h_m) * h_m + g_m \cos \beta_s$$

όπου:

- d_c/h_m : Υπολογίζεται ανάλογα με το γεωγραφικό πλάτος της περιοχής
- g_m : Ύψος φωτοβολταϊκών πάνελ
- β_s : κλίση



Πρέπει να προσδιοριστεί ο μέγιστος αριθμός πάνελς που μπορούν να εγκατασταθούν στη διατιθέμενη έκταση. Για το λόγο αυτό θεωρείται ότι η οροφή αποτελείται από τρία ορθογώνια παραλληλόγραμμα συνολικής επιφάνειας 245, 245 και 145 τετραγωνικών μέτρων. Επίσης, θεωρείται ότι κάθε πάνελ έχει μήκος 10 μέτρα και ύψος ίσο με 6 μέτρα. Τα πάνελς πρόκειται να τοποθετηθούν το ένα δίπλα στο άλλο σε συστοιχίες και έπειτα σε παράλληλες σειρές συστοιχιών προς τον άξονα Α-Δ, με κλίση 45 μοιρών προς το οριζόντιο επίπεδο.

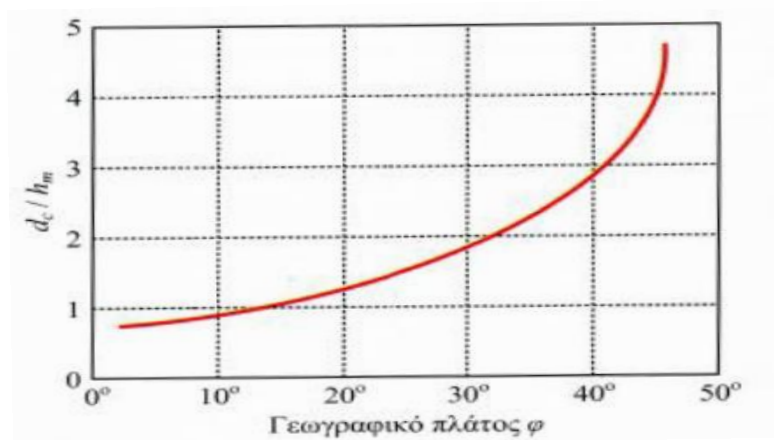
Τμήμα 1:

Η κάθε συστοιχία κατά τη διεύθυνση Α-Δ αποτελείται από:

$$M1 = \text{μήκος οροφής} / \text{μήκος πάνελ} = 22 / 10 = 2 \text{ πάνελς}$$

Έπειτα, υπολογίζεται η ελάχιστη μεταξύ τους απόσταση:

$$d_m = (d_c/h_m) * h_m + g_m \cos \beta_s$$



Η περιοχή του Βόλου βρίσκεται σε γεωγραφικό πλάτος 40 μοιρών Βόρεια. Επομένως:

- $\varphi = 40$ μοίρες
- $d_c/h_m = 2.8$
- $g_m = 6m$
- $b_s = 45$ μοίρες
- $\cos b_s = 0.707$
- $h_m = g_m \cdot \sin b_s = 4.24$

Άρα, $d_m = 2.8 \cdot 4.24 + 6 \cdot 0.707 = 16.1$ μέτρα

Κατά τη διεύθυνση B-N μπορούν να τοποθετηθούν

$N_1 = 1 + 11/16.1 = 1$ σειρά πάνελ.

Συνολικά, η ισχύς που μπορεί να παραχθεί είναι ίση με $M_1 \cdot N_1 \cdot 8.8kW = 17.6 kW$

Τμήμα 2:

Η κάθε συστοιχία κατά τη διεύθυνση Α-Δ αποτελείται από:

$M_2 = \text{μήκος οροφής} / \text{μήκος πάνελ} = 10.8 / 10 = 1$ πάνελ

Έπειτα, υπολογίζεται η ελάχιστη μεταξύ τους απόσταση:

$$d_m = (d_c/h_m) \cdot h_m + g_m \cos b_s$$

Η περιοχή του Βόλου βρίσκεται σε γεωγραφικό πλάτος 40 μοιρών Βόρεια. Επομένως:

- $\varphi = 40$ μοίρες
- $d_c/h_m = 2.8$
- $g_m = 6m$

- $bs = 45$ μοίρες
- $\cos bs = 0.707$
- $hm = gm \cdot \sin bs = 4.24$

Άρα, $dm = 2.8 \cdot 4.24 + 6 \cdot 0.707 = 16.1$ μέτρα

Κατά τη διεύθυνση B-N μπορούν να τοποθετηθούν

$N2 = 1 + 22/16.1 = 2$ σειρές πάνελ.

Συνολικά, η ισχύς που μπορεί να παραχθεί είναι ίση με $M2 \cdot N2 \cdot 8.8W = 17.6$ kW

Τμήμα 3:

Η κάθε συστοιχία κατά τη διεύθυνση A-Δ αποτελείται από:

$M3 = \text{μήκος οροφής} / \text{μήκος πάνελ} = 10.8 / 10 = 1$ πάνελ

Έπειτα, υπολογίζεται η ελάχιστη μεταξύ τους απόσταση:

$$d_m = (d_c/h_m) \cdot h_m + g_m \cos b_s$$

Η περιοχή του Βόλου βρίσκεται σε γεωγραφικό πλάτος 40 μοιρών Βόρεια. Επομένως:

- $\varphi = 40$ μοίρες
- $d_c/h_m = 2.8$
- $gm = 6m$
- $bs = 45$ μοίρες
- $\cos bs = 0.707$
- $hm = gm \cdot \sin bs = 4.24$

Άρα, $dm = 2.8 \cdot 4.24 + 6 \cdot 0.707 = 16.1$ μέτρα

Κατά τη διεύθυνση B-N μπορούν να τοποθετηθούν

$N3 = 1 + 14/16.1 = 1$ σειρές πάνελ.

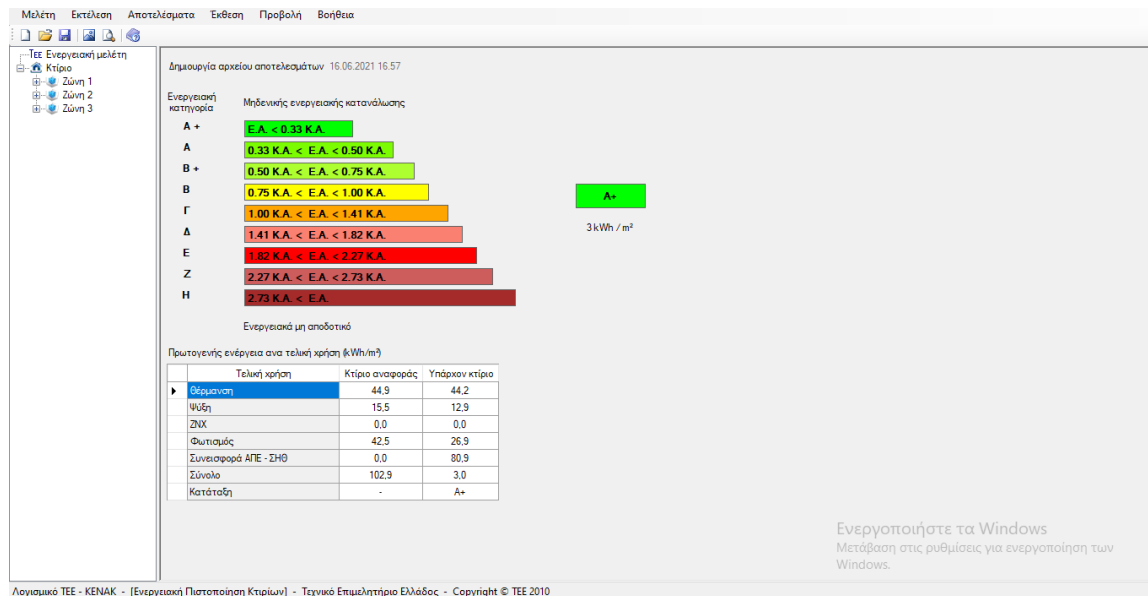
Συνολικά, η ισχύς που μπορεί να παραχθεί είναι ίση με $M3 \cdot N3 \cdot 8.8kW = 8.8$ kW

Στην έκταση της οροφής που δε λήφθηκε υπόψη, θα τοποθετηθούν οι ΚΚΜ.

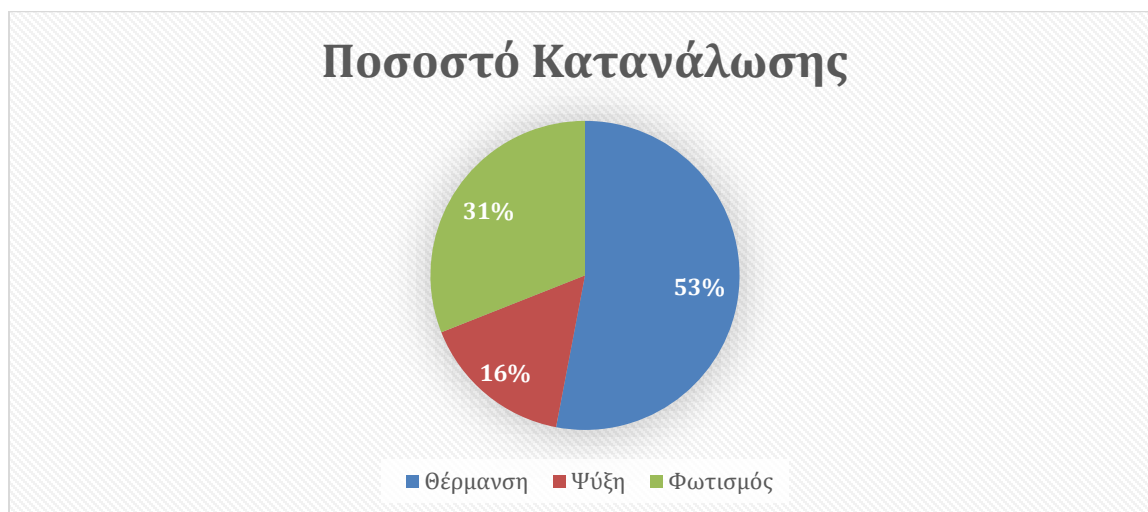
Συγκεντρωτικά, στην οροφή μπορούν να τοποθετηθούν 5 φωτοβολταικά πάνελ, συνολικής επιφάνειας 300 m^2 συνολικής ισχύος 44 kW.

5. Αποτελέσματα

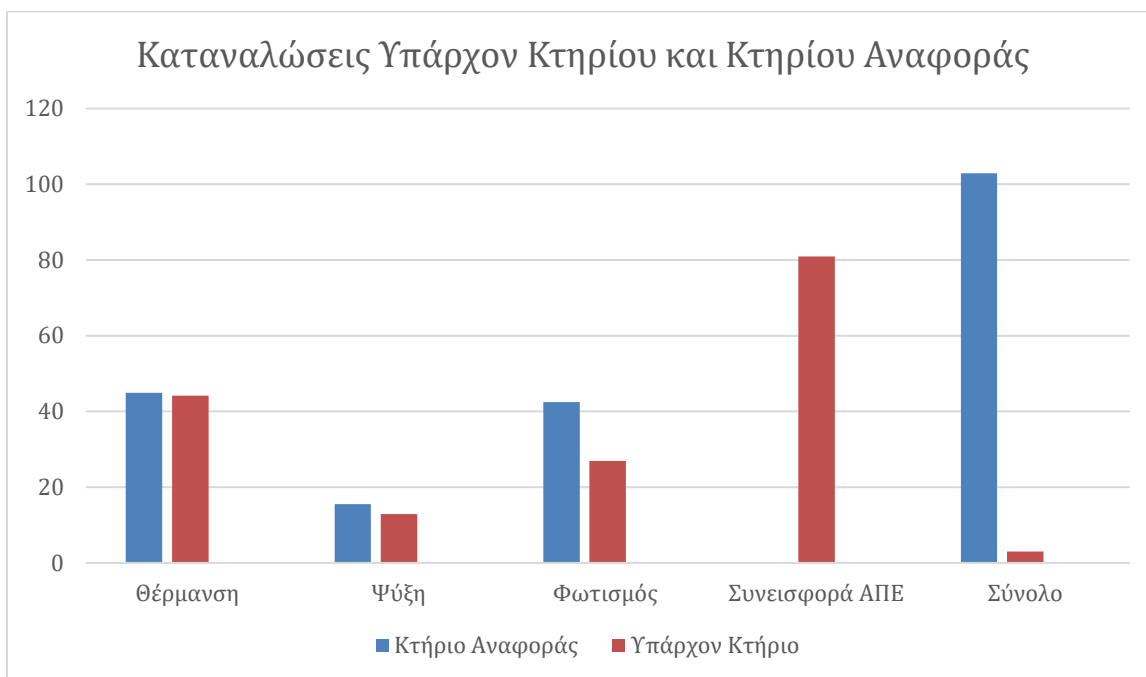
Έχοντας καταχωρήσει όλα τα στοιχεία στο λογισμικό του TEE KENAK το επόμενο βήμα είναι η εμφάνιση των αποτελεσμάτων. Σύμφωνα με το προφίλ χρήσης του, το κτήριο ανήκει στην κατηγορία A+. Τα αποτελέσματα παρουσιάζονται αναλυτικά παρακάτω:



Ο επιμερισμός των καταναλώσεων του κτηρίου, δίνεται στο παρακάτω διάγραμμα:

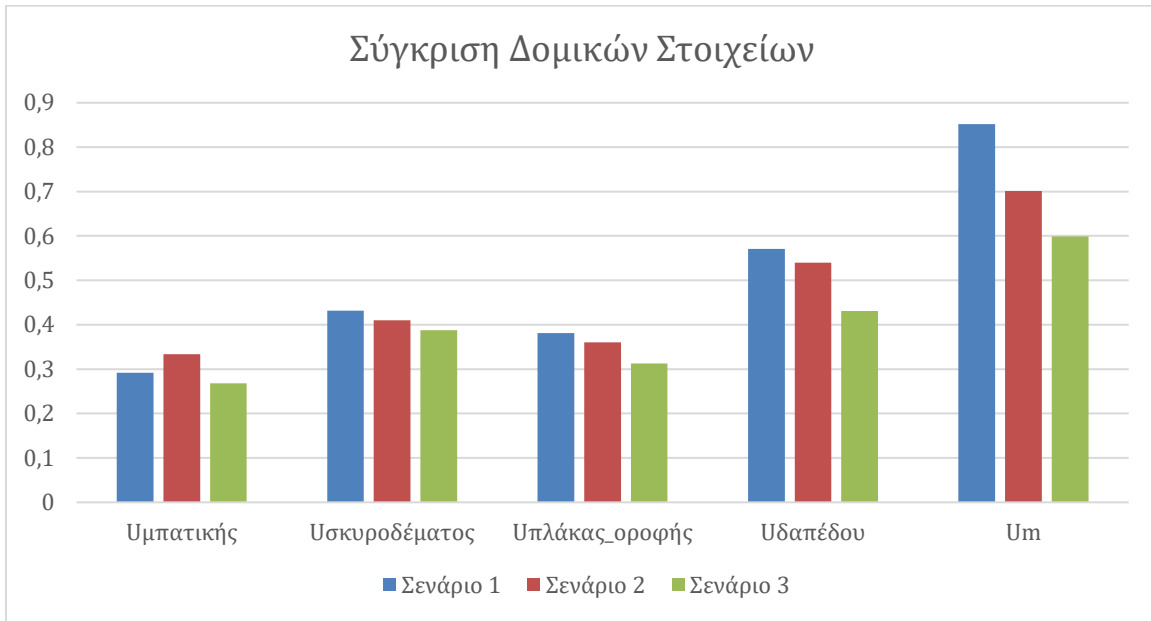


Παρακάτω δίνεται η ανάλυση των αποτελεσμάτων σε σχέση με το κτήριο αναφοράς:

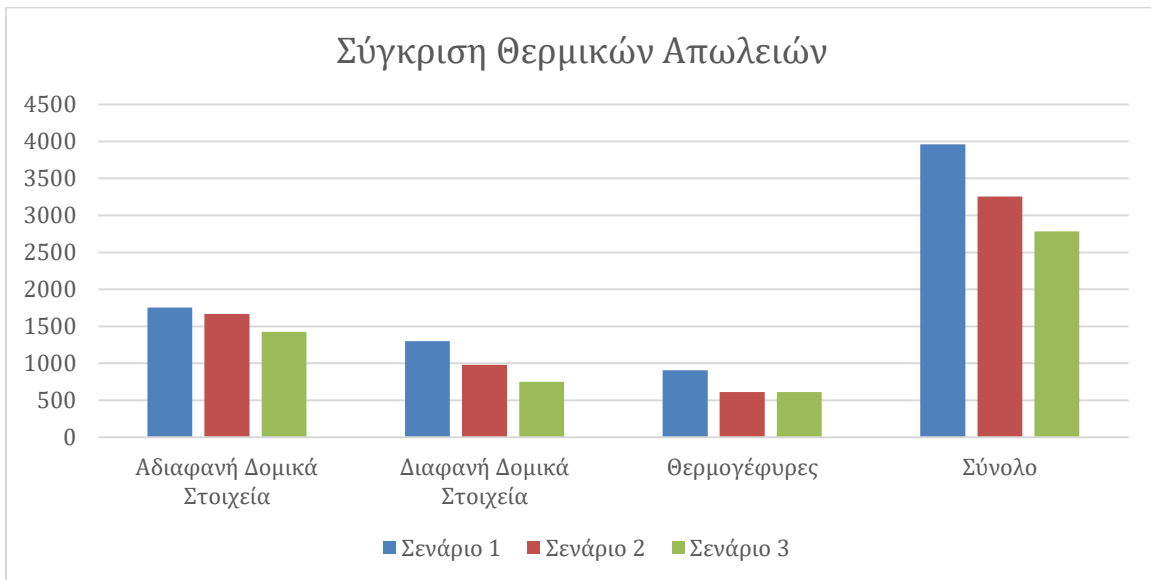


6. Συμπεράσματα

Αρχικά, θα γίνει η σύγκριση των δομικών στοιχείων στα διαφορετικά σενάρια προκειμένου να βρεθεί η βέλτιστη λύση στα στοιχεία κελύφους του κτηρίου.

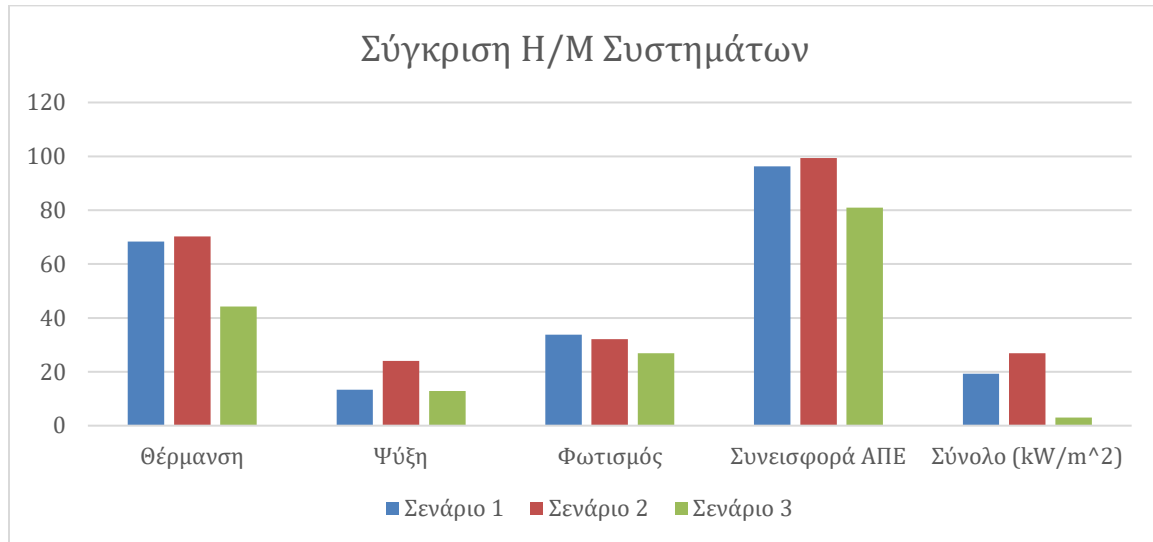


Γίνεται αντιληπτό, ότι η βέλτιστη λύση σε ότι έχει να κάνει με τα δομικά στοιχεία του κτηρίου είναι το τρίτο σενάριο, αφού έχει τους μικρότερους επιμέρους συντελεστές και τελικά το μικρότερο συντελεστή θερμοπερατότητας U_m .



Είναι εμφανές ότι στο σενάριο 3 εμφανίζονται οι λιγότερες θερμικές απώλειες στο υπάρχον κτήριο. Το γεγονός αυτό καθιστά το σενάριο 3 βέλτιστη λύση για το κέλυφος του κτηρίου. Αντίθετα, το σενάριο 1 είναι αυτό με τις περισσότερες θερμικές απώλειες και κατά συνέπεια, αποτελεί το χειρότερο σενάριο.

Επιπλέον, θα γίνει η σύγκριση των τριών σεναρίων για τις επιμέρους ενεργειακές καταναλώσεις των Η/Μ συστημάτων. Τα αποτελέσματα παρουσιάζονται στο παρακάτω διάγραμμα:



Μελετώντας το διάγραμμα, υπογραμμίζεται ότι η καλύτερη ΗΜ εγκατάσταση είναι αυτή που εφαρμόστηκε στο σενάριο 3. Παρόλο που η συνεισφορά των ΑΠΕ (φωτοβολταϊκών) δεν είναι η μέγιστη, συνολικά η εγκατάσταση του κτηρίου εμφανίζει τη χαμηλότερη τιμή σε kW/m². Χειρότερο σενάριο, αποδεικνύεται το σενάριο 2, χωρίς ωστόσο να είναι απαγορευτικό, αφού και στην περίπτωση αυτή το κτήριο καταλήγει να είναι ενεργειακής κλάσης A+, δηλαδή κτήριο μηδενικής ενεργειακής κατανάλωσης.